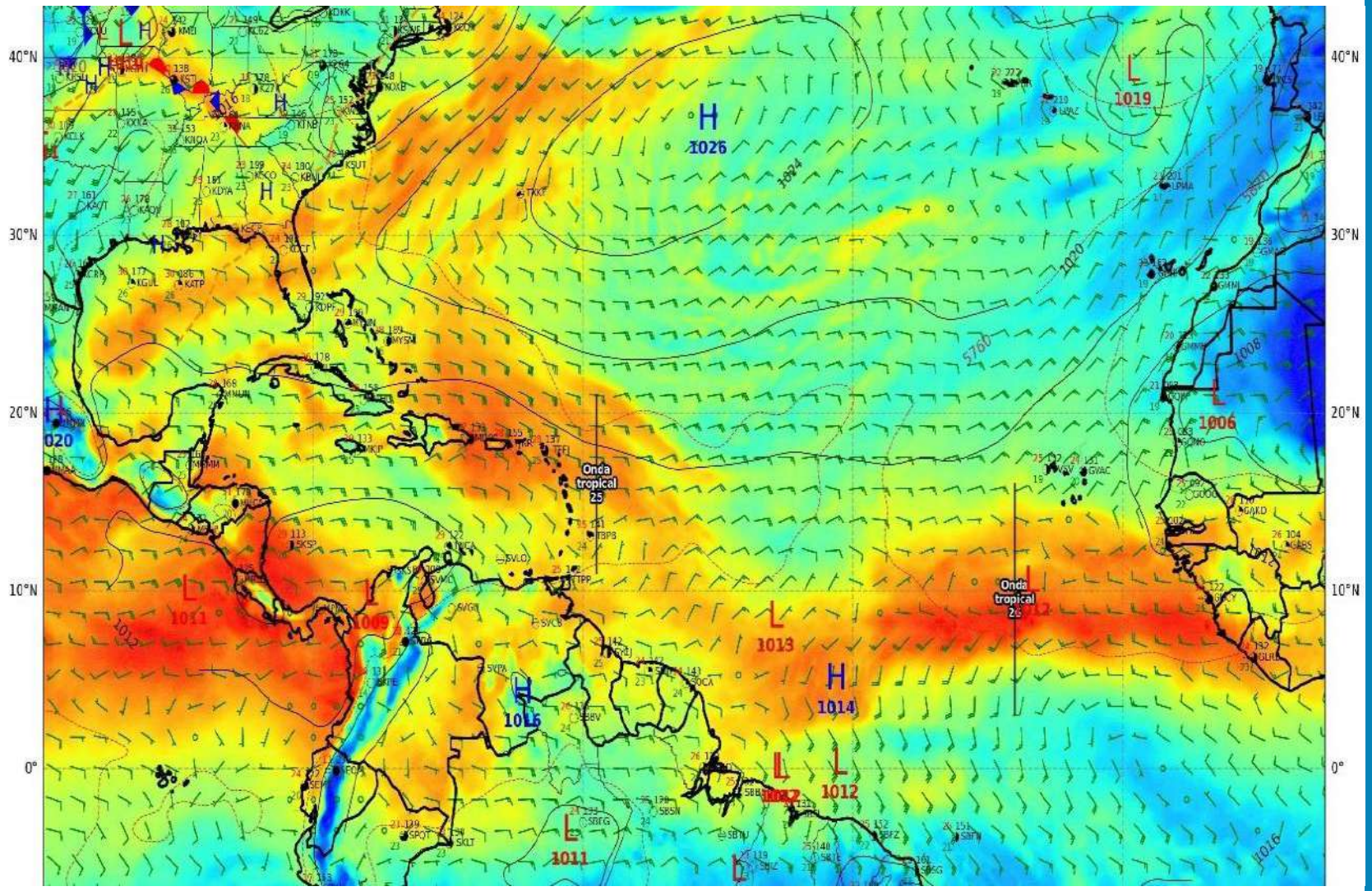


Resumen
Situación sinóptica

Mayo de 2026

IDEAM

ASPECTOS DESTACADOS
Mayo 2026

Mayo de 2026

Los patrones sinópticos y las características principales del régimen de lluvias durante el mes de mayo fueron los siguientes:

- El **régimen de precipitación en Colombia** se caracterizó por un predominio de **condiciones deficitarias en las regiones Caribe, Andina y Pacífica**. No obstante, se registraron **excesos de precipitación generalizados** en la mayor parte de los departamentos pertenecientes a las **regiones de la Amazonía y la Orinoquía**, así como anomalías positivas locales y aisladas en el centro de la región Caribe y en sectores centro-orientales y del sur de la región Andina. A pesar de que el déficit de lluvias fue generalizado en el norte, centro y occidente del país, ocurrieron eventos extremos de precipitación que **superaron los récords históricos de lluvia diaria** en **nueve (9) de las estaciones** monitoreadas en el territorio nacional.
- En el ámbito térmico, se registraron **anomalías de temperatura máxima por encima del promedio** en gran parte de las ciudades principales **(29 de 37)**, en donde **24 estaciones rompieron sus registros históricos de temperatura máxima**, mientras que en ocho de ellas se observaron anomalías negativas. Por su parte, las temperaturas mínimas en las zonas de mayor susceptibilidad a heladas evidenciaron un **comportamiento cálido en 16 estaciones** que registraron anomalías positivas, mientras que dos estaciones registraron valores negativos, lo que incrementó localmente el riesgo de heladas en sectores específicos. Asimismo, **se rompieron los récords históricos de temperatura mínima en dos estaciones**.
- En niveles bajos y medios (850 y 700 hPa), la **desaceleración de los flujos del este hacia el occidente** generó convergencia en niveles bajos sobre el centro-occidente del país. Asimismo, las anomalías de **vientos débiles del sureste en el sur**, junto con flujos anómalos del sur (700 hPa) y del oeste-suroeste (500 hPa), facilitaron la advección de humedad amazónica y su estancamiento en el centro-oriente. En niveles altos (200 hPa) el incremento de la velocidad del viento desde el centro hacia el sur y oriente generó **divergencia y difluencia superior**, actuando como el motor dinámico de succión que ventiló y sostuvo la **convección profunda en la Amazonía y Orinoquía**. Mientras que, en niveles bajos y medios (850 y 700 hPa) el fortalecimiento de las anomalías del sureste-este (vientos Alisios) actuó como un mecanismo de barrido horizontal de humedad, impidiendo la acumulación de vapor de agua sobre el Caribe, el Pacífico y gran parte de los Andes. Lo anterior, sumado en **niveles altos** (200 hPa), donde las **velocidades de viento más bajas** se concentraron **sobre el Pacífico, el Caribe y los Andes**, induciendo **subsidencia atmosférica** (descenso de aire). Además, la **cizalladura en niveles medios** (500 hPa), neutralizó el ascenso dinámico y estabilizó la atmósfera.
- A escala sinóptica, la **onda intraestacional (MJO)** inició el mes en **fase subsidente**, favoreciendo la supresión convectiva y los bajos acumulados de la primera quincena (con el mínimo absoluto el día 9), para luego transitar hacia una **fase convectiva (divergente)** durante la segunda mitad de mayo. Esta reactivación superior coincidió con el ingreso de anomalías positivas de agua precipitable (PWAT) y el desarrollo de los pulsos lluviosos más intensos (destacando el pico absoluto del día 21). Varios de los eventos de lluvia registrados estuvieron fuertemente apoyados por la inestabilidad asociada al tránsito de **Ondas Ecuatoriales de Rossby (ER) y ondas Kelvin**, las cuales actuaron como eficientes disparadores dinámicos de la convección profunda. La **Vaguada Monzónica** osciló latitudinalmente entre la zona norte del Pacífico oriental colombiano hacia el suroccidente del Mar Caribe, así como en el norte de la región Andina y la plataforma continental del Caribe, favoreciendo algunos episodios de **convergencia intermitente**. Mientras tanto, en el sector del **Atlántico la ZCIT** osciló latitudinalmente entre 0° y 5°N. Paralelamente, la **Baja Anclada de Panamá** se mantuvo activa en algunos casos y brindó un soporte dinámico crucial para las precipitaciones sobre zonas del Pacífico nacional, especialmente en el área marítima. El **gradiente de presión** configurado entre los sistemas de Alta Presión en el Atlántico (incluida la Alta de los Azores) y la Baja del Darién impulsó la **formación de jets de bajo nivel en el Mar Caribe y áreas costeras, realizando un barrido de humedad**. El tránsito de muy pocos **frentes fríos** hacia las Antillas Mayores generó débiles líneas de inestabilidad que **no apoyaron la convección en el norte del país** debido a la persistencia de una masa de aire seco y estable sobre la cuenca del Caribe colombiano. Por el contrario, en el extremo sur del continente, la incursión de algunos **sistemas frontales desde la cuenca amazónica brasileña** contribuyó a generar condiciones de inestabilidad atmosférica en la región de la Amazonía colombiana. Adicionalmente, se registró una **actividad ondulatoria significativa con el tránsito exitoso de cuatro ondas tropicales** sobre el territorio colombiano, las cuales actuaron como disparadores dinámicos para los pulsos de precipitación.

ANOMALÍA DE PRECIPITACIÓN

El análisis de la precipitación acumulada y la anomalía ponderada de la lluvia durante mayo (**Figuras 1 y 2**) reveló un patrón predominantemente **deficitario** en amplios sectores de las regiones Caribe, Andina y Pacífica. No obstante, se registraron **anomalías positivas** locales y aisladas en el centro de la región Caribe, así como en el centro-oriente y sur de la región Andina. Por el contrario, las regiones de la Orinoquía y Amazonía experimentaron **excesos** de precipitación generalizados, aunque coexistiendo con algunos núcleos de **déficit** puntuales y espacialmente localizados en ambas cuencas.

La región Caribe e Insular presentó un panorama **deficitario** que afectó incluso al Archipiélago de San Andrés, Providencia y Santa Catalina. La única excepción a esta tendencia seca fue un foco aislado de **anomalía positiva** registrado en el sur del departamento de Magdalena.

Por su parte, la región Pacífica registró condiciones pluviométricas mayormente **por debajo** de sus promedios históricos. Las **anomalías negativas** más significativas se concentraron en las porciones central y sur, mientras que el norte de la región se mantuvo ligeramente **por debajo** de sus valores climatológicos de referencia.

Figura 1. Precipitación acumulada mensual
Mayo 2026

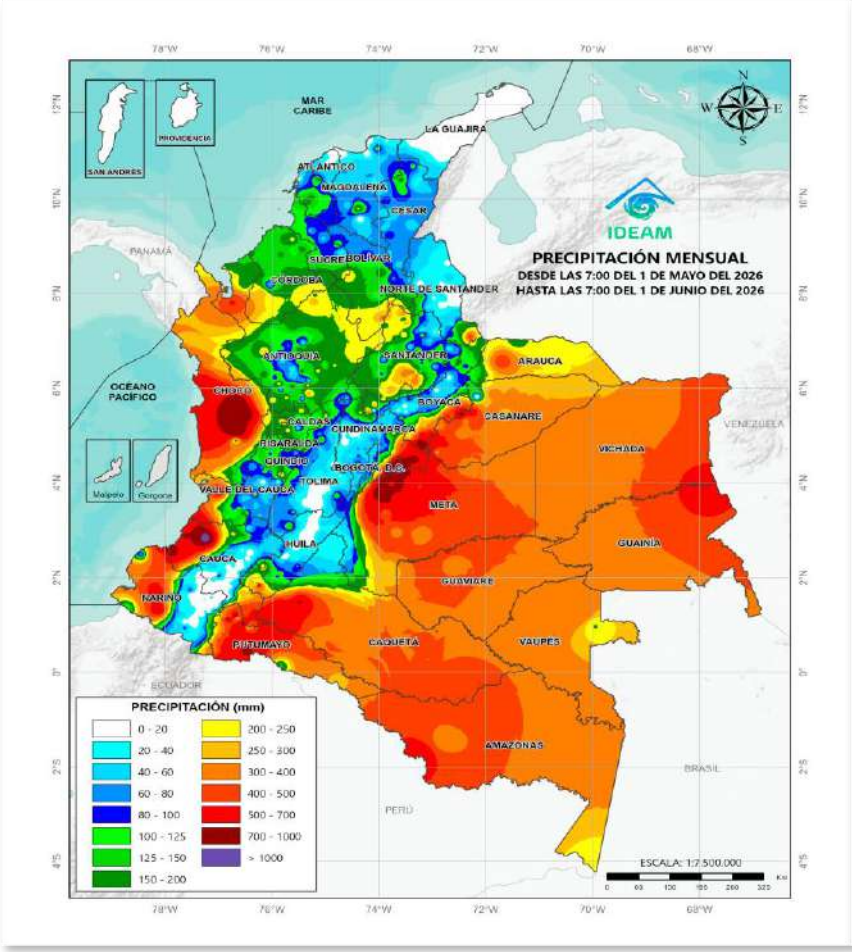
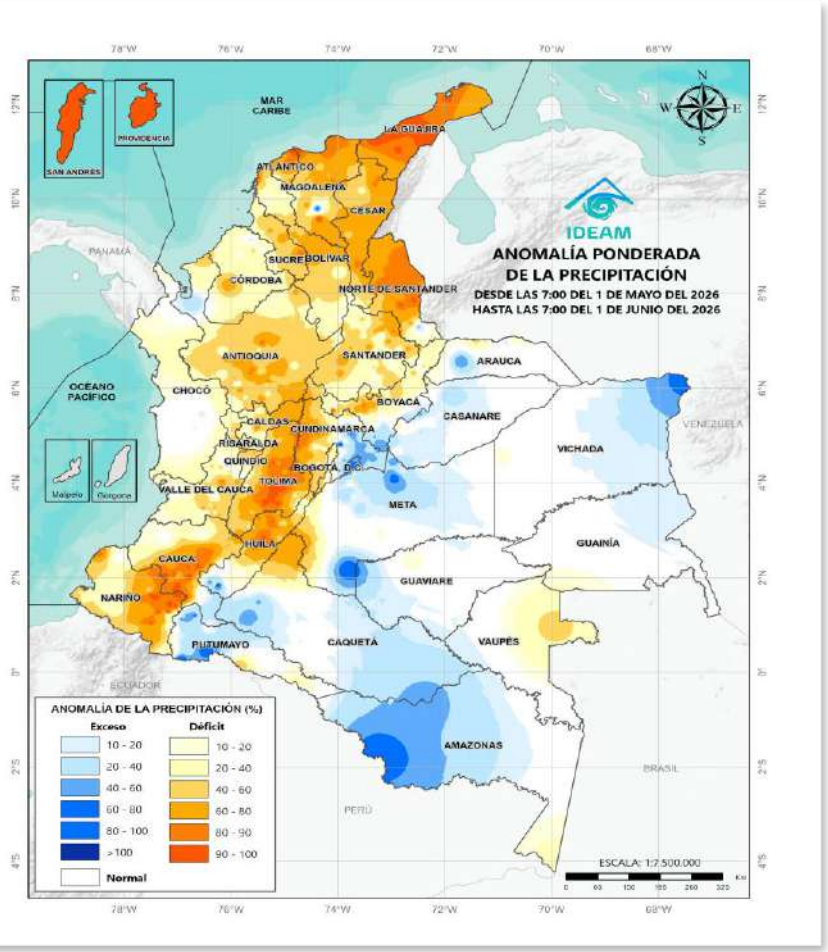


Figura 2. Anomalía ponderada de la precipitación
Mayo 2026



Fuente: Grupo de profesionales de incendios y deslizamientos

ANOMALÍA DE PRECIPITACIÓN

La **región Andina** evidenció anomalías de precipitación predominantemente **deficitarias** a escala general. No obstante, este comportamiento seco se vio interrumpido en las porciones centro-oriental y sur, donde se registraron **excesos** localizados en sectores del oriente de Cundinamarca, el sur de Boyacá y el sur de Huila (**ver Figuras 1 y 2**).

En la mayor parte de la **Orinoquía** prevaleció un predominio de **anomalías positivas** generalizadas. Las únicas excepciones se localizaron en áreas muy puntuales del suroccidente de la región, donde los acumulados de lluvia se situaron **por debajo** de su climatología de referencia, afectando de manera particular al suroccidente del departamento del Meta.

Por su parte, la **Amazonía** se caracterizó de manera predominante por **anomalías de precipitación positivas**. No obstante, esta tendencia húmeda coexistió con algunos núcleos de **déficit** localizados, principalmente en el nororiente, centro-oriente y sur de la región, afectando de forma puntual al noroccidente de Caquetá, el centro-sur de Putumayo, el oriente de Vaupés y el extremo sur de Amazonas.

Figura 1. Precipitación acumulada mensual
Mayo 2026

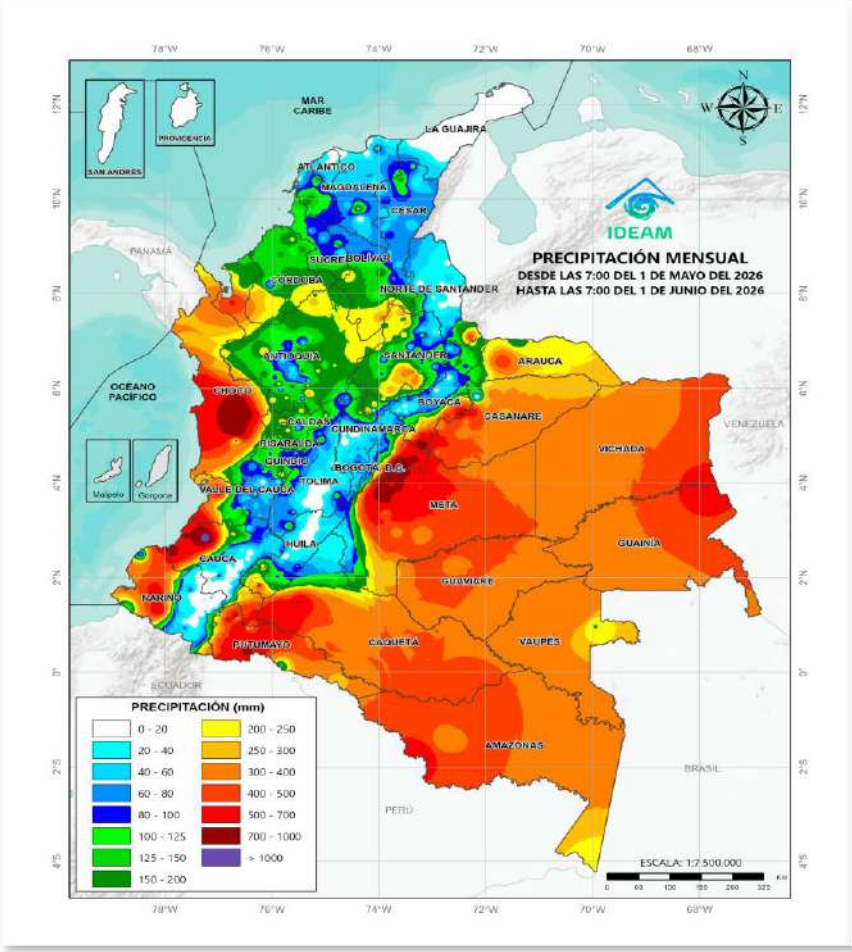
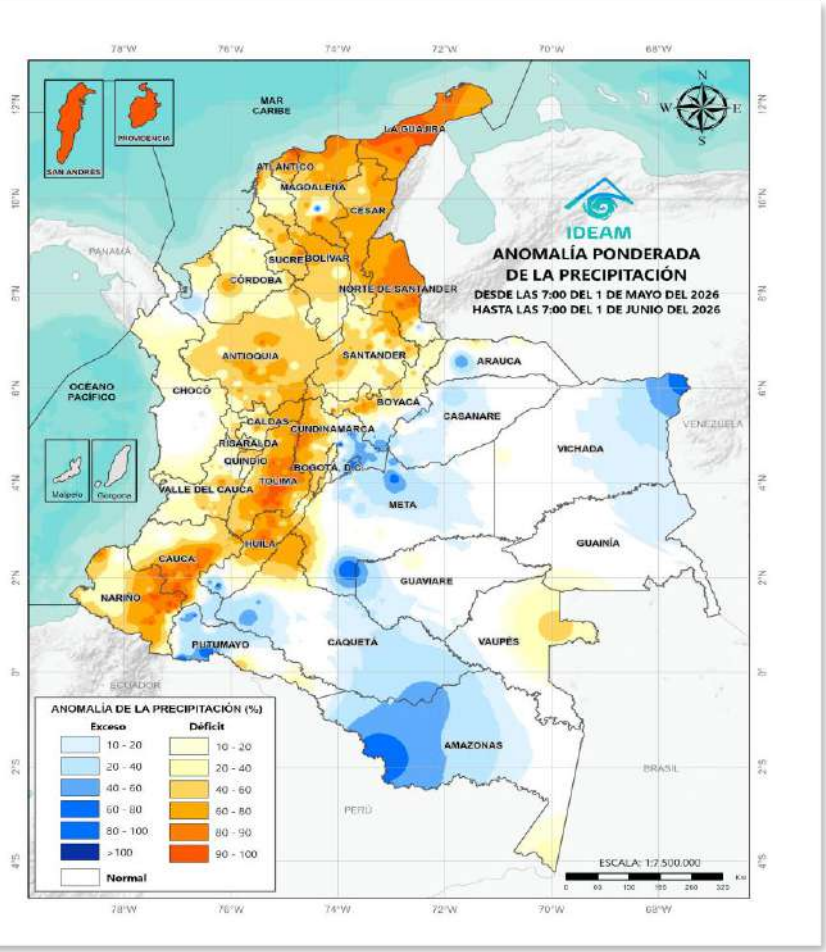


Figura 2. Anomalía ponderada de la precipitación
Mayo 2026



Fuente: Grupo de profesionales de incendios y deslizamientos

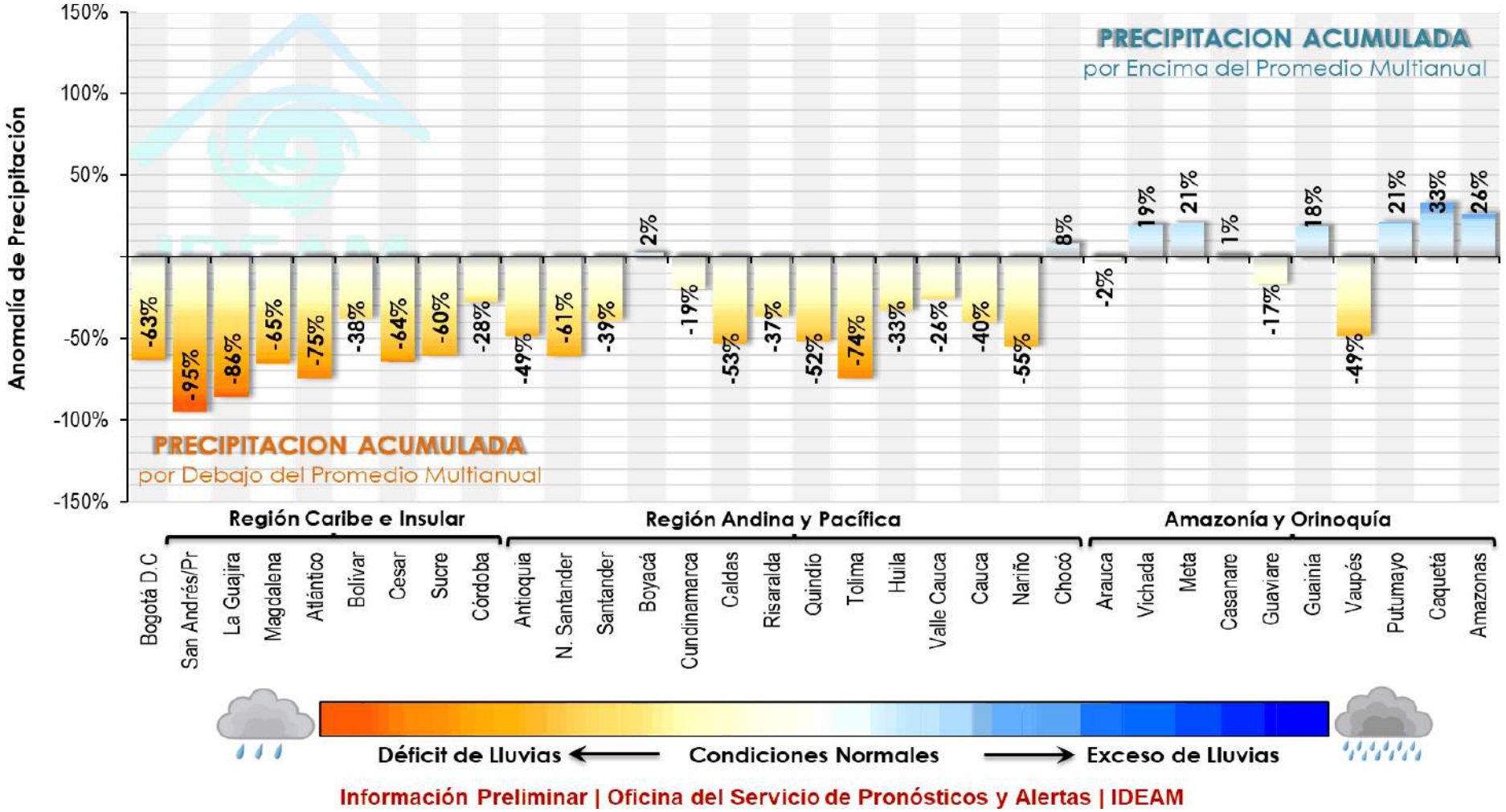
ANOMALÍA DE PRECIPITACIÓN

El análisis de la anomalía de la precipitación acumulada por departamentos durante el periodo del 1 al 31 de mayo (Figura 3) muestra que, a escala nacional, predominó un régimen **deficitario** sobre las regiones Caribe, Andina y Pacífica. En contraste, los **excesos** de precipitación se concentraron de manera generalizada en la mayor parte de los departamentos pertenecientes a las regiones de la Amazonía y la Orinoquía.

La **región Caribe** registró una de las condiciones **secas** y generalizadas de todo el territorio nacional. El **déficit** extremo se registró en San Andrés, Providencia y Santa Catalina, el cual reportó la **anomalía negativa** más profunda del país con un -95%, seguida de cerca por La Guajira (-86%) y Atlántico (-75%). Departamentos como Cesar (-64%), Sucre (-60%), Magdalena (-65%), Bolívar (-38%) y Córdoba (-28%) se mantuvieron con **déficits** muy significativos.

La **región Andina** estuvo bajo la influencia de una estabilidad atmosférica generalizada. El mayor **déficit** de la región se localizó en Tolima (-74%), seguido de Norte de Santander (-61%), Caldas (-53%), Quindío (-52%) y Antioquia (-49%). El único departamento que rompió la tendencia seca y se situó en rangos normales con tendencia **ligeramente positiva** fue Boyacá (+2%), mientras que Cundinamarca (-19%) y Santander (-39%) registraron **déficits** moderados. Bogotá D.C. registró una anomalía negativa del -63%.

Figura 3. ANOMALÍA PONDERADA DE LA PRECIPITACIÓN ACUMULADA POR DEPARTAMENTOS 1 AL 31 DE MAYO DE 2026



Fuente: Grupo de datos Ideam - OSPA.

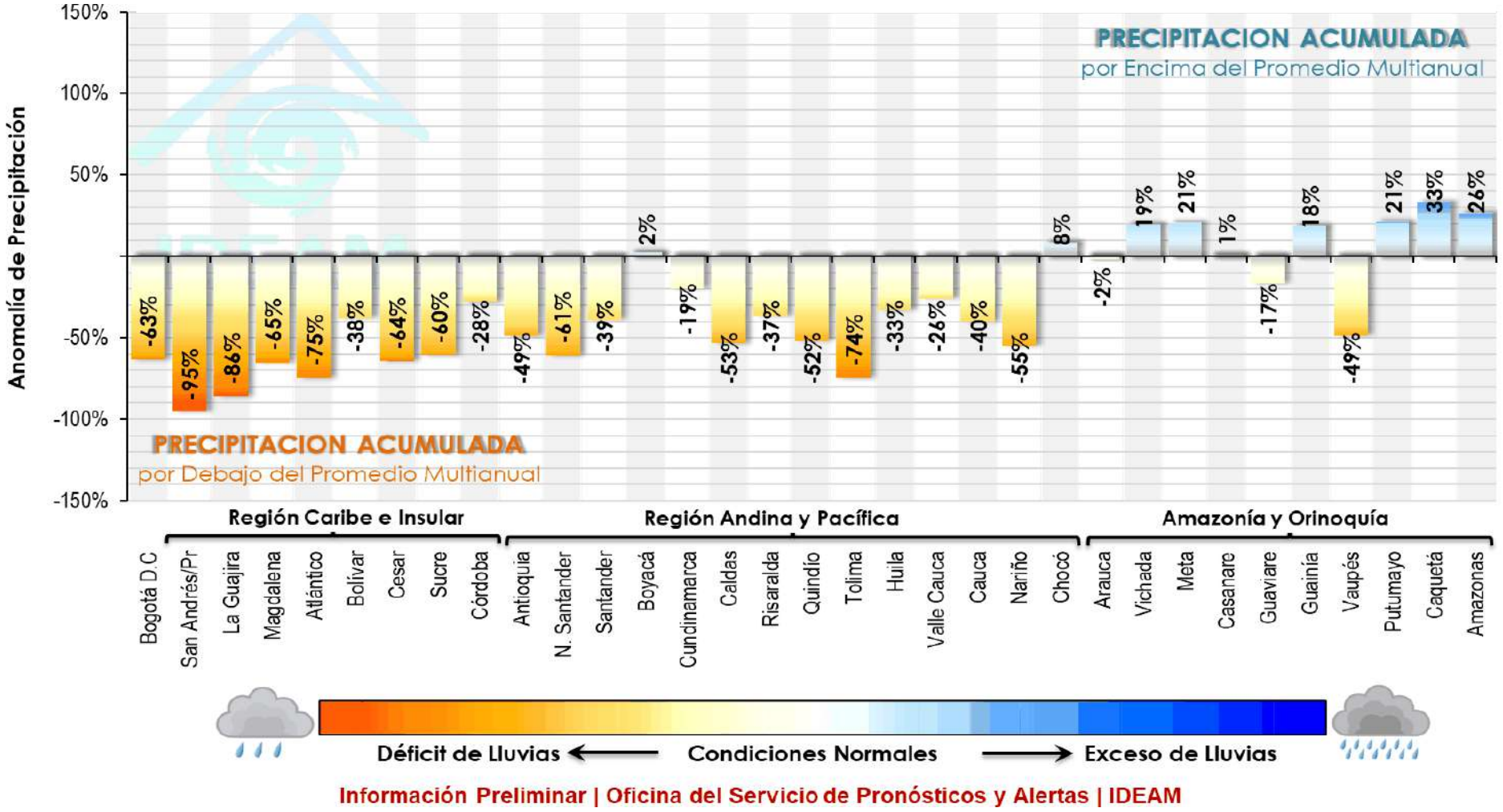
ANOMALÍA DE PRECIPITACIÓN

La **región Pacífica** a diferencia de su climatología húmeda habitual, registró un comportamiento mayormente **deficitario**. Se observaron **anomalías negativas** severas en Nariño (-55%) y Cauca (-40%), seguidos por Valle del Cauca (-26%). Mientras que Chocó (+8%) fue el único departamento de la vertiente del Pacífico que logró cerrar el mes con condiciones ligeramente **por encima** de lo normal. (ver **Figura 3**)

La **Orinoquía** mostró un comportamiento predominantemente húmedo, registrando **anomalías positivas** importantes en Meta (+21%) y Vichada (+19%). En cuanto a Casanare (+1%) y Arauca (-2%) se ajustaron de manera casi exacta a su climatología de referencia.

La **Amazonía** experimentó una reactivación importante de las lluvias, situándose como la región más húmeda del mes, aunque con una marcada excepción. Se destacaron acumulados **por encima** de lo normal en Caquetá (+33%), Amazonas (+26%), Putumayo (+21%) y Guainía (+18%). En contraste con la tendencia húmeda regional, Vaupés (-49%) y Guaviare (-17%) registraron condiciones **deficitarias** significativas.

Figura 3. ANOMALÍA PONDERADA DE LA PRECIPITACIÓN ACUMULADA POR DEPARTAMENTOS 1 AL 31 DE MAYO DE 2026



Fuente: Grupo de datos Ideam - OSPA.

ANOMALÍA DE PRECIPITACIÓN

La **Tabla 1** documenta los máximos históricos de precipitación diaria que fueron superados en el país durante el mes de mayo. A pesar del predominio de condiciones secas y deficitarias en gran parte del territorio nacional, la ocurrencia de eventos de lluvia torrencial y de carácter muy localizado se evidenció a través del rompimiento de

Los eventos más severos y de mayor disrupción hídrica diaria se concentraron en la Amazonía, el Valle del Cauca y Boyacá. La estación El Encanto (Amazonas) registró la máxima del mes más alta en términos de superación de récord, alcanzando 177.0 mm y sobrepasando su máximo histórico anterior (134.2 mm) por 42.8 mm. Continuando, la estación Zarzal (Valle del Cauca) reportó un acumulado de 135.0 mm, superando su marca histórica de 101.0 mm por 34.0 mm. Por último, la estación El Cocuy (Boyacá) superó su récord histórico por un margen de 33.3 mm (alcanzando 73.0 mm

Varios récords se rompieron en zonas que, bajo el balance mensual, estuvieron marcadamente secas, confirmando que la inestabilidad se dio por pulsos de corta duración. La estación La Maria (Ábrego, Norte de Santander) registró 104.0 mm, superando su marca histórica por 19.0 mm. San Estanislao (Bolívar) alcanzó los 120.0 mm, superando su récord anterior por 11.2 mm. El Dique (Jericó, Antioquia) superó su récord por 6.0 mm (106.0 mm registrados).

Mientras que los récords en la Orinoquía y Amazonía se registraron en las estaciones de Valparaíso (Caquetá), el cual superó su récord histórico por 11.0 mm (129.0 mm registrados). Así mismo, en el aeropuerto de Puerto Carreño (Vichada) y Pompeya (Villavicencio, Meta), los cuales registraron superaciones moderadas de +4.1 mm y +4.0 mm respectivamente.

Tabla 1. Precipitaciones máximas históricas superadas en el mes

ESTACIÓN	DEPARTAMENTO	MUNICIPIO	Máxima del mes (mm)	Máxima Histórica (mm)	Igual o supera (mm)
EL COCUY	BOYACÁ	EL COCUY	73,0	39,7	33,3
AEROPUERTO PUERTO CARREÑO	VICHADA	PUERTO CARREÑO	145,1	141	4,1
EL ENCANTO	AMAZONAS	EL ENCANTO	177,0	134,2	42,8
EL DIQUE	ANTIOQUIA	JERICÓ	106,0	100	6,0
LA MARIA - AUT	NORTE DE SANTANDER	ÁBREGO	104,0	85	19,0
SAN ESTANISLAO	BOLÍVAR	SAN ESTANISLAO	120,0	108,8	11,2
VALPARAISO	CAQUETÁ	VALPARAÍSO	129,0	118	11,0
POMPEYA	META	VILLAVICENCIO	155,0	151	4,0
ZARZAL	VALLE DEL CAUCA	ZARZAL	135,0	101	34,0

Fuente: Grupo de datos Ideam - OSPA.

ACUMULADO DE PRECIPITACIÓN DIARIA

El comportamiento de la precipitación acumulada diaria (**Figura 4**) a nivel nacional durante mayo se caracterizó por un patrón altamente pulsátil y variable, evidenciando la alternancia entre periodos de estabilidad atmosférica profunda y eventos convectivos de gran intensidad.

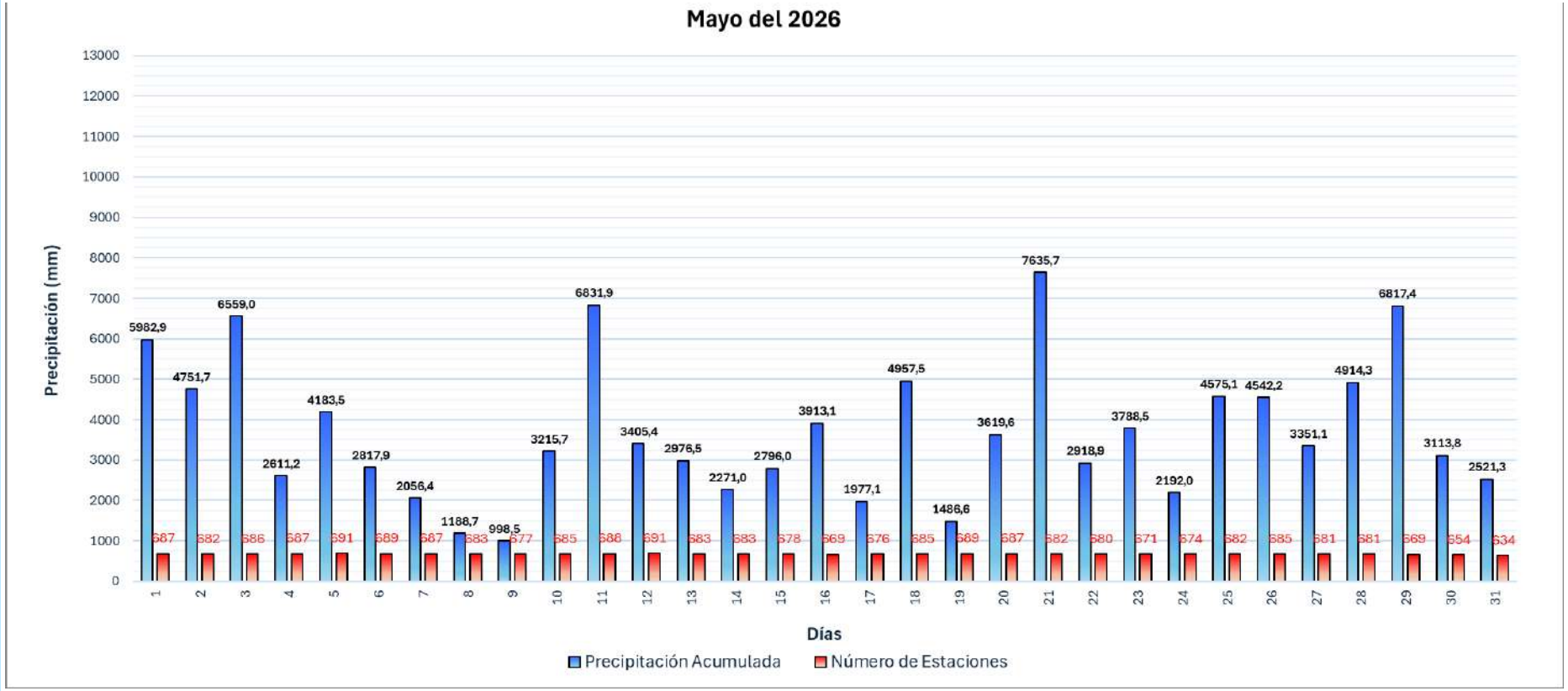
El mes estuvo dinamizado por **cinco (5) pulsos** principales de inestabilidad atmosférica.

El evento de **lluvia más extremo a nivel nacional** se registró el **21 de mayo**, alcanzando un acumulado de **7,635.7 mm**. Este pulso coincide temporalmente con las superaciones de récords históricos en estaciones andinas y de los llanos.

Los **días 1 al 3** se observaron condiciones de inestabilidad alta, destacando el día 3 con 6,559.0 mm. El **segundo pulso** (día 11), registró un volumen muy significativo de 6,831.9 mm, marcando una ventana húmeda a mediados del mes. El **tercer pulso** (día 18), se observó un repunte moderado de menor duración que alcanzó 4,957.5 mm. Se presentó un fuerte **pulso** hacia el cierre del periodo, registrando 6,817.4 mm el día 29, antes de descender nuevamente al finalizar el mes.

La tendencia general al déficit hídrico nacional se ve reflejada en los marcados valles de la gráfica. La **menor actividad pluvial** del mes se registró el **9 de mayo** con solo **998.5 mm** de acumulado nacional, precedido por el día 8 con 1,188.7 mm. Este periodo de la primera década representa la ventana de mayor estabilidad del mes. Adicionalmente, se observó otra caída drástica en las lluvias el día 19 con 1,486.6 mm, sirviendo de transición seca justo antes del pico máximo absoluto del día 21.

Figura 4. PRECIPITACIÓN ACUMULADA DIARIA



Fuente: Grupo de datos Ideam-OSPA.

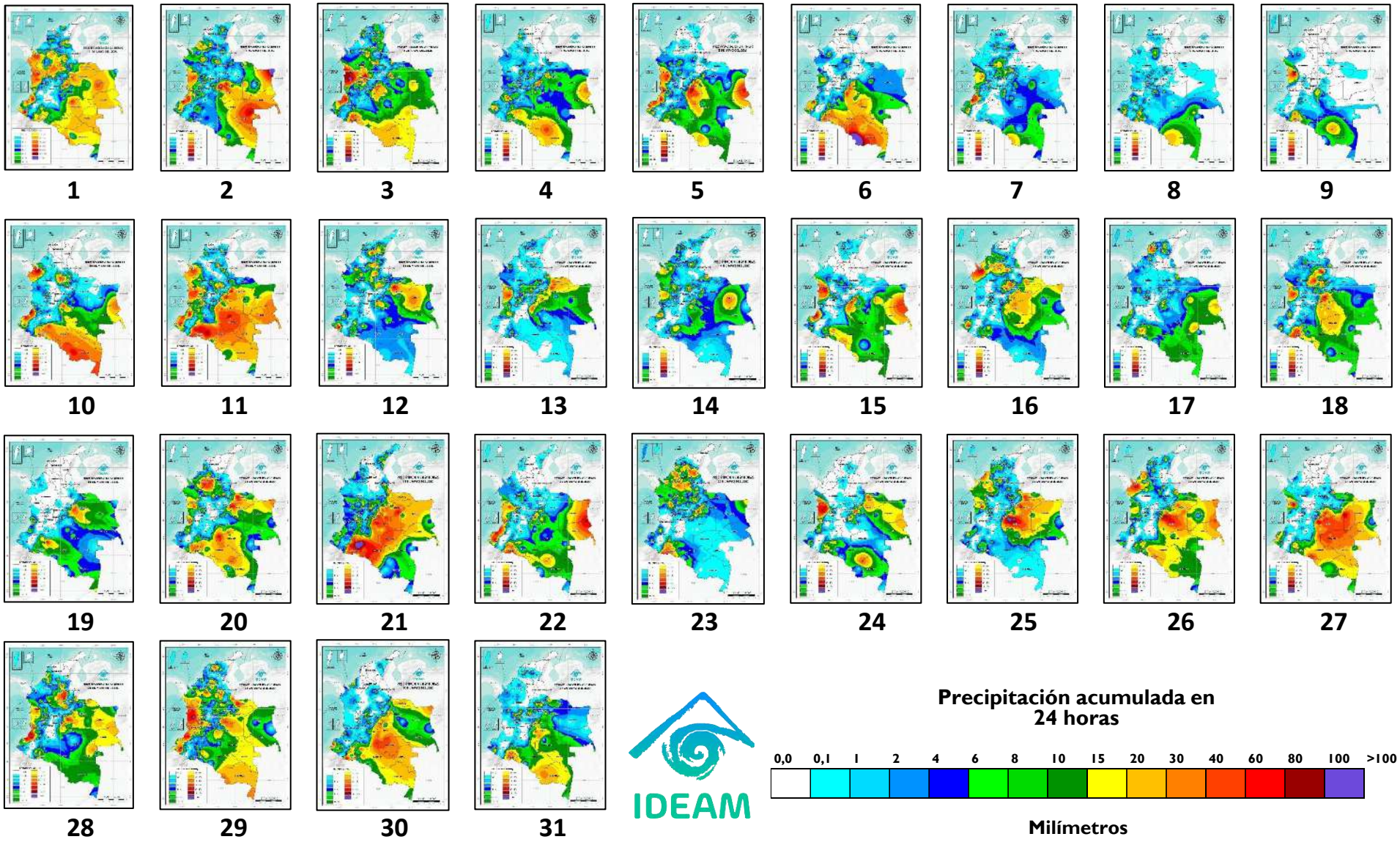
DISTRIBUCIÓN ESPACIAL DE LA PRECIPITACIÓN DIARIA

La **Figura 5** muestra la distribución espacial diaria de la precipitación, en donde ratifica el contraste entre el seco cuadrante noroccidental y el húmedo cuadrante suroriental del territorio nacional.

El comportamiento seco del mes se evidencia de manera contundente por la permanencia de tonos **blancos (0.0 mm)** y **cian claro (0.1 a 2.0 mm)** sobre la mayor parte de las regiones Caribe, Pacífica y el norte-centro de la Andina. La **región Caribe e Insular** se mantuvo bajo condiciones de sequía absoluta o lloviznas marginales en casi la totalidad de los 31 días. El mapa del **día 9** (mínimo absoluto del mes con 998.5 mm) muestra al país casi enteramente cubierto de blanco y cian claro, con la única excepción de precipitaciones importantes en el sur y occidente del país.

La cartografía diaria muestra los sistemas convectivos de mesoescala responsables de los excesos de lluvia en la Amazonía y Orinoquía. El p**ico máximo absoluto del día 21 (7,635.7 mm)** revela un evento dinámico excepcional. Se observa una gigantesca estructura convectiva con núcleos **púrpura (>100 mm), marrón y rojo** cubriendo casi en su totalidad a las regiones de la Orinoquía y la Amazonía.

Figura 5. Distribución espacial de la precipitación diaria - Mayo del 2026



Nota: Interpolación de la precipitación realizada con datos preliminares – Método IWD

Fuente: Grupo de datos OSPA - Ideam.

ANOMALÍA DE TEMPERATURA MÍNIMA

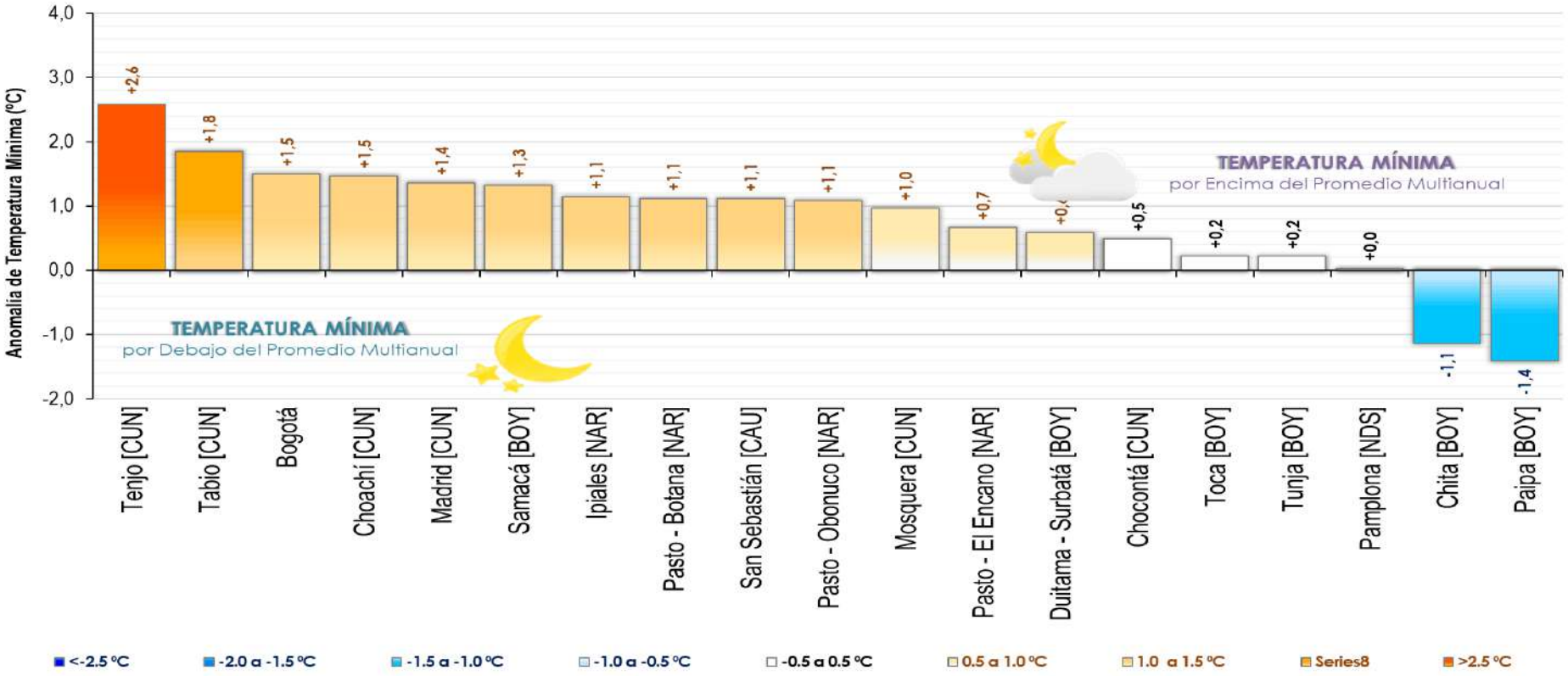
El análisis de la anomalía de temperatura mínima (**Figura 6**) y de los récords históricos superados (**Tabla 2**) para el mes de mayo muestra un comportamiento muy generalizado en las anomalías positivas en el régimen térmico. Mientras el altiplano central y sur continuó experimentando noches significativamente más cálidas de lo normal, se registraron eventos de enfriamiento significativos y localizados que rompieron marcas históricas.

El análisis cuantitativo de las **19 estaciones** monitoreadas muestra un claro predominio de las condiciones cálidas. Un total de 16 estaciones registraron anomalías positivas. Los incrementos más significativos se concentraron en Cundinamarca, liderados por Tenjo (+2.6 °C) y Tabio (+1.8 °C), junto con Bogotá (+1.5 °C) y Choachí (+1.5 °C). Estos valores confirman una mitigación generalizada del riesgo de heladas en el altiplano de Cundinamarca y gran parte de Nariño (Pasto-Botana: +1.1 °C).

Únicamente dos estaciones en el departamento de Boyacá registraron anomalías negativas severas, particularmente en Paipa (-1.4 °C) y Chita (-1.1 °C). Estas dos localidades constituyeron los principales focos de riesgo de heladas radiativas durante el mes.

Por otro lado, Pamplona en Norte de Santander (+0.0 °C) se ajustó perfectamente a su climatología de referencia.

Figura 6. ANOMALÍA TEMPERATURA MÍNIMA EN POBLACIONES SUSCEPTIBLES A HELADAS
1 AL 31 DE MAYO DE 2026



Fuente: Grupo de datos Ideam-OSPA.

Tabla 2. Temperaturas mínimas históricas superadas en el mes

ESTACIÓN	DEPARTAMENTO	MUNICIPIO	Temperatura mínima del mes (mm)	Temperatura mínima histórica (mm)	Igual o supera (mm)
HACIENDA TUNEZ	ANTIOQUIA	Fredonia	16,4	16,8	-0,4
CARMEN DE TONCHALA	NORTE DE SANTANDER	San José De Cúcuta	15,2	18,4	-3,2
AEROPUERTO YOPAL - AUT	CASANARE	Yopal	18	18,6	-0,6

Fuente: Grupo de datos Ideam-OSPA.

ANOMALÍA DE TEMPERATURA MÍNIMA

A pesar de la tendencia nocturna cálida, la **Tabla 2** confirma la ocurrencia de descensos térmicos nocturnos extremos y sin precedentes en tres estaciones del país, asociados a cielos despejados e intensos procesos de enfriamiento radiativo.

La estación de Carmen de Tonchala (San José de Cúcuta, Norte de Santander) registró el evento térmico más extraordinario del mes. La temperatura mínima descendió hasta los 15.2 °C, superando su récord histórico previo (18.4 °C) por un margen excepcional de -3.2 °C.

El aeropuerto de Yopal (Yopal, Casanare) reportó una temperatura mínima de 18.0 °C, superando su histórico por -0.6 °C, consolidando un patrón de noches anómalamente frías. Mientras que la estación Hacienda Túnez (Fredonia, Antioquia) registró una mínima de 16.4 °C, que se situó -0.4 °C por debajo de su récord anterior.

Figura 6. ANOMALÍA TEMPERATURA MÍNIMA EN POBLACIONES SUSCEPTIBLES A HELADAS
1 AL 31 DE MAYO DE 2026

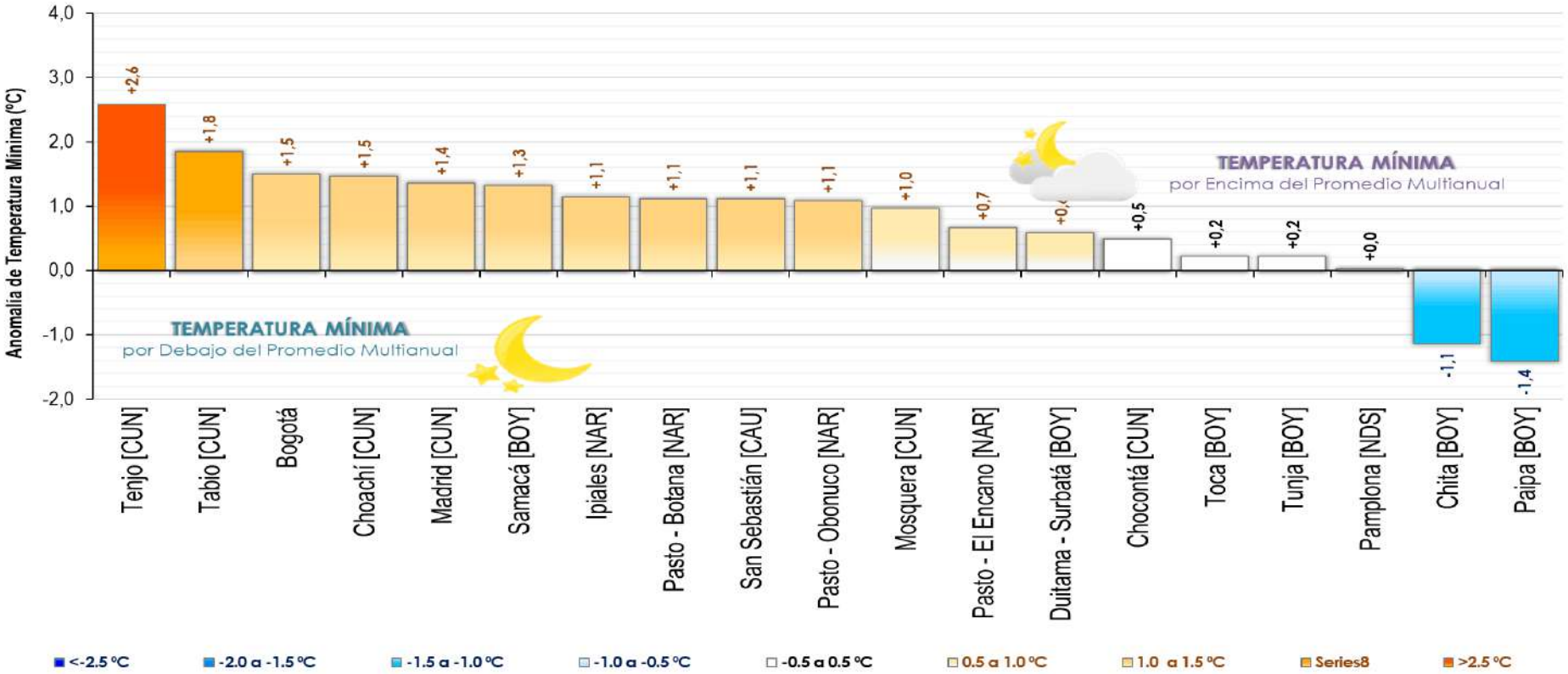


Tabla 2. Temperaturas mínimas históricas superadas en el mes

ESTACIÓN	DEPARTAMENTO	MUNICIPIO	Temperatura mínima del mes (mm)	Temperatura mínima histórica (mm)	Igual o supera (mm)
HACIENDA TUNEZ	ANTIOQUIA	Fredonia	16,4	16,8	-0,4
CARMEN DE TONCHALA	NORTE DE SANTANDER	San José De Cúcuta	15,2	18,4	-3,2
AEROPUERTO YOPAL - AUT	CASANARE	Yopal	18	18,6	-0,6

Fuente: Grupo de datos Ideam-OSPA.

ANOMALÍA DE TEMPERATURA MÁXIMA

Como se puede observar en la **Figura 7**, 29 de las 37 principales ciudades monitoreadas en el país, registraron tardes significativamente más cálidas de lo normal, concentrándose en el Caribe (incluida su zona insular), el Pacífico y la región Andina.

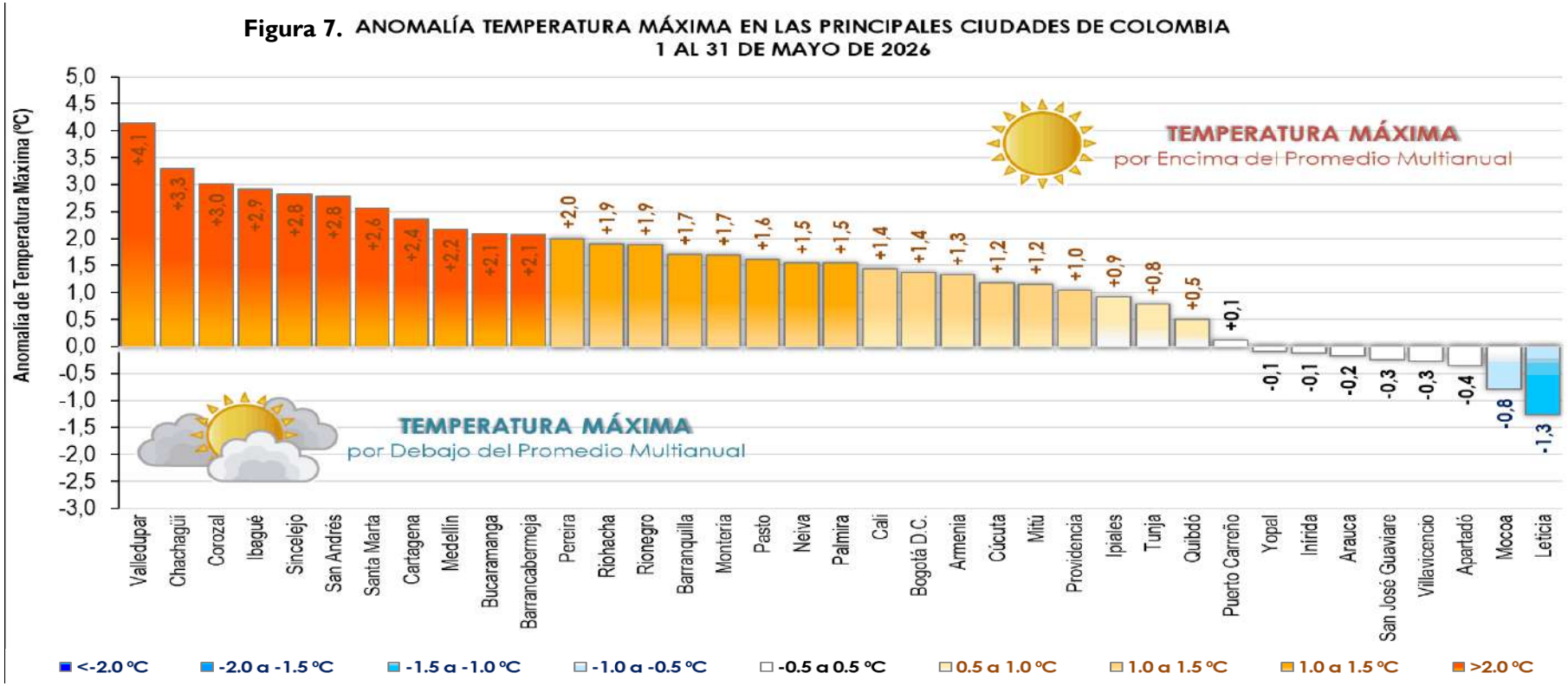
Se registraron valores muy importantes de anomalías positivas, liderados por Valledupar (+4.1 °C), Chachagüí (+3.3 °C), Corozal (+3.0 °C), Ibagué (+2.9 °C), Sincelejo (+2.8 °C), San Andrés (+2.8 °C) y Santa Marta (+2.6 °C).

Ciudades como Medellín (+2.2 °C), Bucaramanga (+2.1 °C), Pereira (+2.0 °C), Cali (+1.4 °C) y Bogotá D.C. (+1.4 °C) mostraron anomalías cálidas significativas.

Por el contrario, 8 ciudades registraron temperaturas máximas por debajo de su promedio multianual, localizándose de manera casi exclusiva en las regiones de la Amazonía y Orinoquía. El mayor descenso en la anomalía de la temperatura máxima se registró en Leticia (-1.3 °C) y Mocoa (-0.8 °C), seguidos de Apartadó (-0.4 °C), Villavicencio (-0.3 °C) y San José del Guaviare (-0.3 °C).

Adicionalmente, Yopal (-0.1 °C), Inírida (-0.1 °C) y Arauca (-0.2 °C) también mostraron ligeras desviaciones negativas o casi por condiciones cercanas a lo normal .

Figura 7. ANOMALÍA TEMPERATURA MÁXIMA EN LAS PRINCIPALES CIUDADES DE COLOMBIA
1 AL 31 DE MAYO DE 2026



Fuente: Grupo de datos Ideam-OSPA.

ANOMALÍA DE TEMPERATURA MÁXIMA

La **Tabla 2** muestra los eventos de temperatura máxima registrados en mayo, con un total de **24 estaciones rompiendo sus récords históricos.** Estas desviaciones extremas se concentraron con especial fuerza en los valles interandinos, el Caribe y el Pacífico.

Se registraron valores iguales o mayores a **40.0 °C** en el Caribe y el alto valle del Magdalena, superando marcas previas que ya eran extremas. Se resalta la estación **El Callao (Valledupar, Cesar)** registró la temperatura absoluta más alta con **40.8 °C**, superando su marca histórica por **+0.4 °C**. El **Aeropuerto Alfonso López (Valledupar, Cesar)** alcanzó los **40.5 °C**, rompiendo el récord anterior por **+0.3 °C**. La estación **Jabalcón (Saldaña, Tolima)** reportó una temperatura de **40.4 °C**, lo que representa la superación más severa de la tabla con **+1.9 °C** por encima de su récord anterior (38.5 °C).

Desviaciones térmicas significativas iguales o mayores a **+1.0 °C,** se presentaron en la estación de **Morichal (San Carlos de Guaroa, Meta),** el cual superó su máximo histórico por **+1.8 °C** (alcanzando 36.4 °C), La estación de **Lomitas (Santander de Quilichao, Cauca) y Tanama (Samaniego, Nariño),** en donde ambos municipios del suroccidente rompieron sus marcas históricas por **+1.2 °C** (registrando 33.6 °C y 31.4 °C respectivamente).

En el **aeropuerto Almirante Padilla (Riohacha, La Guajira) y Guicán (Boyacá)** se superaron sus marcas históricas por **+1.0 °C** (registrando 39.4 °C y 24.0 °C respectivamente).

La consolidación de récords en grandes centros urbanos como **Medellín (Antioquia),** registró la superación de dos récords en las estaciones Olaya Herrera (+0.2 °C, alcanzando 33.8 °C) y La Aldea (+0.6 °C, alcanzando 30.4 °C). Igualmente, **Cartagena (Bolívar) y la isla San Andrés,** registraron superaciones de **+0.4 °C** (37.0 °C) y **+0.7 °C** (33.7 °C). También **Pereira (Risaralda)** rompió récord en las estaciones La Bohemia (+0.2 °C, alcanzando 34.4 °C) y Matecaña (+0.2 °C, alcanzando 31.4 °C).

Tabla 2. Temperaturas máximas históricas superadas en el mes

ESTACIÓN	DEPARTAMENTO	MUNICIPIO	Temperatura máxima del mes (mm)	Temperatura máxima histórica (mm)	Igual o supera (mm)
CHISCAS	BOYACÁ	Chiscas	26,4	25,8	0,6
AEROPUERTO SESQUICENTENARIO	ARCHIPIÉLAGO DE SAN ANDRES, PROVIDENCIA Y SANTA CATALINA	Isla de San Andrés	33,7	33	0,7
GUICAN	BOYACÁ	Güicán De La Sierra	24	23	1
MORICHAL	META	San Carlos De Guaroa	36,4	34,6	1,8
AEROPUERTO ANTONIO NARIÑO	NARIÑO	Chachaguí	29,5	29,2	0,3
DEMOSTRACION GRANJA - AUT	TOLIMA	Chaparral	35,2	34,8	0,4
BERLIN	SANTANDER	Tona	18,4	18,2	0,2
LA BOHEMIA	RISARALDA	Pereira	34,4	34,2	0,2
TULIO OSPINA	ANTIOQUIA	Bello	34,8	34,2	0,6
ALBANIA	SANTANDER	Albania	28	27,8	0,2
AEROPUERTO ALFONSO LÓPEZ	CESAR	Valledupar	40,5	40,2	0,3
AEROPUERTO RAFAEL NUÑEZ	BOLÍVAR	Cartagena de Indias	37	36,6	0,4
LA LAJA	SANTANDER	Guadalupe	30	29,6	0,4
AEROPUERTO OLAYA HERRERA - AUT	ANTIOQUIA	Medellín	33,8	33,6	0,2
LA ALDEA	ANTIOQUIA	Medellín	30,4	29,8	0,6
PERALES HATO OPIA	TOLIMA	Ibagué	35,2	34,2	1
TANAMA	NARIÑO	Samaniego	31,4	30,2	1,2
ALBANIA	TOLIMA	San Sebastián De Mariquita	34,2	33,4	0,8
LOS MILAGROS	CAUCA	Bolívar	26,8	26,4	0,4
AEROPUERTO MATECAÑA	RISARALDA	Pereira	31,4	31,2	0,2
LOMITAS	CAUCA	Santander De Quilichao	33,6	32,4	1,2
JABALCON	TOLIMA	Saldaña	40,4	38,5	1,9
EL CALLAO	CESAR	Valledupar	40,8	40,4	0,4
AEROPUERTO ALMIRANTE PADILLA	LA GUAJIRA	Riohacha	39,4	38,4	1

Fuente: Grupo de datos Ideam-OSPA.

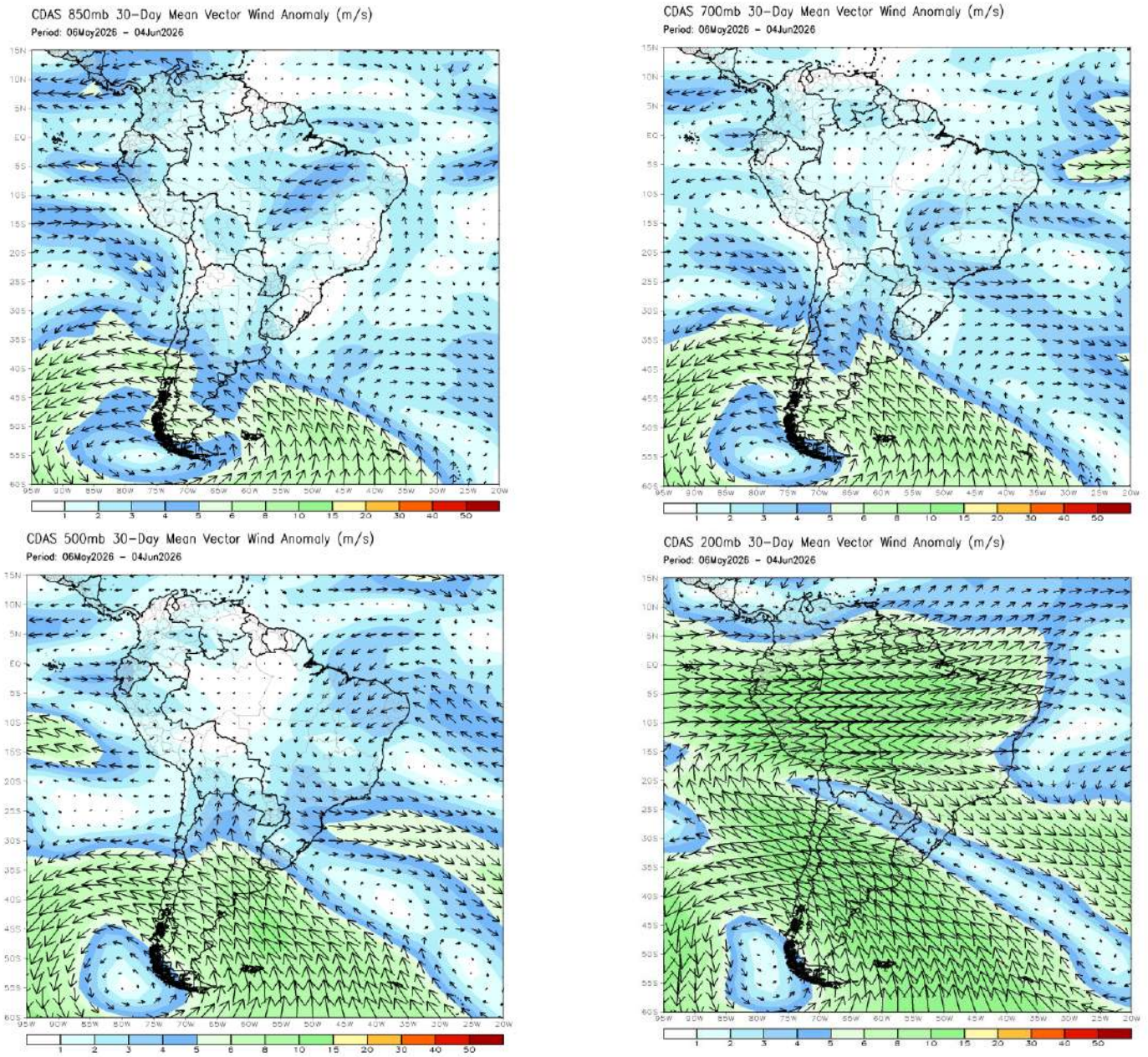
ANOMALÍA DEL VIENTO

Durante el periodo analizado, las anomalías del viento en distintos niveles de la atmósfera jugaron un papel clave en la distribución espacial de la precipitación, favoreciendo el desarrollo de sistemas convectivos en las zonas con anomalías positivas de lluvia y, por el contrario, contribuyendo a condiciones deficitarias en aquellas regiones donde el patrón de circulación promovió el barrido y la dispersión de la humedad **(Figura 8).**

Nivele bajo (850 hPa): En gran parte del territorio colombiano se observaron vientos anómalos de componente sureste, registrando velocidades significativas sobre las regiones Andina, Pacífica y Caribe, con un marcado incremento de su intensidad en el Mar Caribe y una componente predominante del Este. Este fortalecimiento del flujo anómalo de componente Sureste-Este actuó como un eficiente mecanismo de barrido horizontal de humedad en las zonas mencionadas, inhibiendo el desarrollo de nubosidad profunda. Por el contrario, la presencia de anomalías de viento débiles de componente sureste sobre la Orinoquía y la Amazonía facilitó las condiciones de convergencia local y los procesos convectivos que sustentaron las lluvias en el sur y oriente del país.

Niveles medio-bajo (700 hPa): Sobre la cuenca del Océano Pacífico colombiano, las anomalías de viento mostraron una circulación ciclónica asociada directamente a la actividad de la Baja Anclada de Panamá. Los flujos de vientos anómalos de componente sur más significativos se concentraron sobre el litoral Pacífico, el centro y sur de la región Andina, y en los sectores central y occidental de la Amazonía, apoyando el transporte de humedad. En la Orinoquía, las anomalías de viento se manifestaron de componente suroeste, mientras que en la región Caribe persistió un flujo anómalo del Este, reforzando la estabilidad en el norte del territorio nacional.

Figura 8. Anomalía del viento vectorial (m/s) promedio de 30 días para diferentes niveles



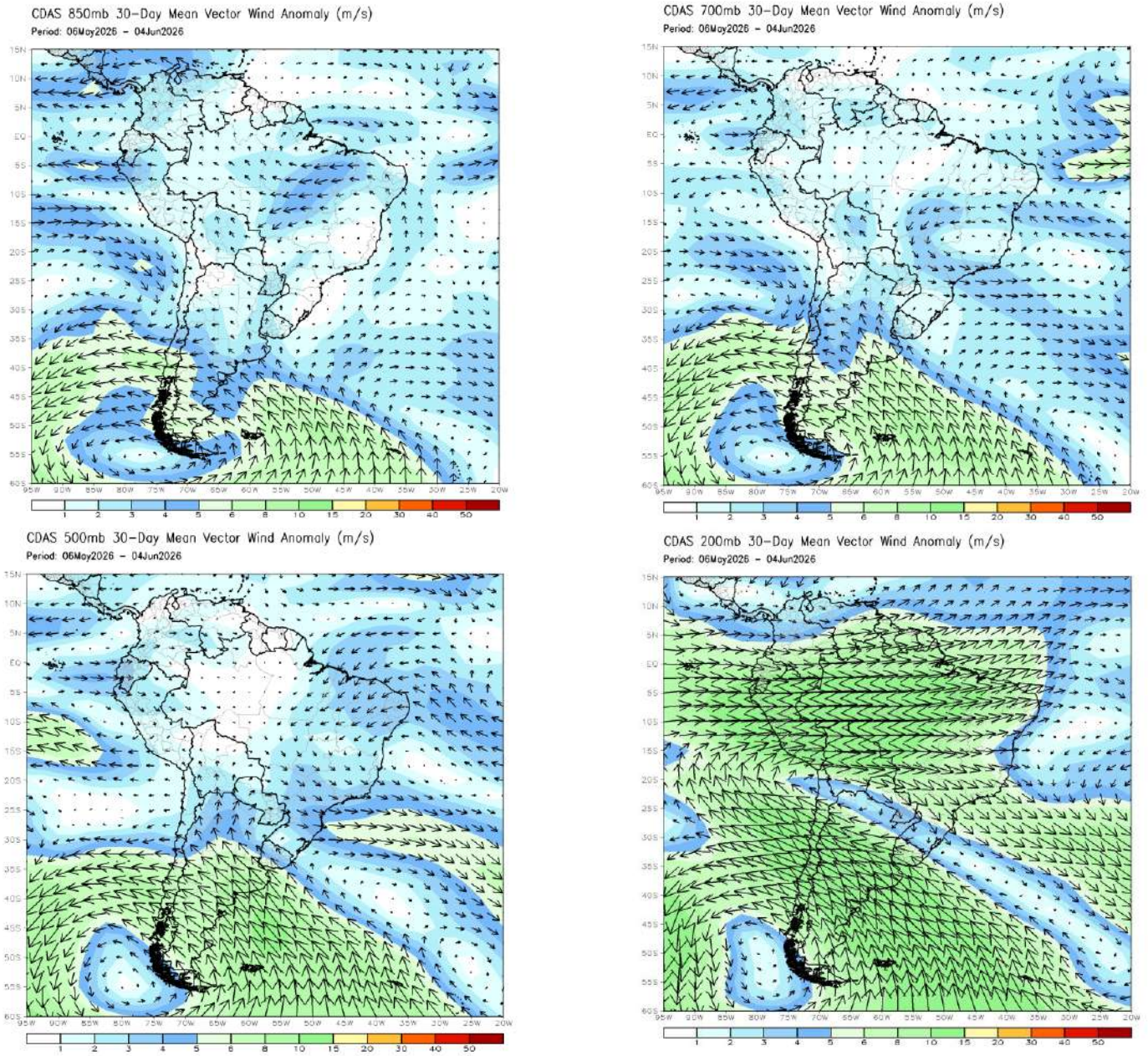
Fuente: Climate Prediction Center, NOAA (2026). CDAS-30 Day Mean Vector Wind Anomaly (m/s). Disponible en: https://www.cpc.ncep.noaa.gov/products/international/cdas/cdas_30day_sam_850wind_anom.gif.

ANOMALÍA DEL VIENTO

Media tropósfera (500 hPa): El patrón anómalo mostró una notable alteración en el flujo zonal de niveles medios. Prevalecieron anomalías de vientos de componente suroeste y oeste con velocidades significativas sobre el centro-oriente y el suroccidente de Colombia. Este flujo anómalo del oeste desorganizó el régimen típico de vientos del este en la tropósfera media, generando condiciones de cizalladura local y favoreciendo el estancamiento y la concentración de humedad que posteriormente alimentó los pulsos de lluvia intensa registrados en los departamentos del oriente andino y los Llanos orientales. Vientos débiles también habrían apoyado los eventos convectivos en la Amazonía.

Nivel alto (200 hPa): Se registró una anomalía de viento vectorial muy intensa y estructurada. Prevalecieron vientos anómalos de componente oeste y suroeste con velocidades significativas sobre el centro y norte del país. Hacia los sectores del centro y sur del territorio nacional, los flujos anómalos de componente oeste, con velocidades importantes, interactuaron para generar una marcada divergencia y difluencia en la alta atmósfera. Esta potente divergencia funcionó como un motor de succión dinámico que ventiló eficientemente las capas inferiores, sosteniendo la convección profunda y explicando los significativos excesos de lluvia observados en las regiones de la Amazonía y la Orinoquía.

Figura 8. Anomalía del viento vectorial (m/s) promedio de 30 días para diferentes niveles



Fuente: Climate Prediction Center, NOAA (2026). CDAS-30 Day Mean Vector Wind Anomaly (m/s). Disponible en: https://www.cpc.ncep.noaa.gov/products/international/cdas/cdas_30day_sam_850wind_anom.gif.

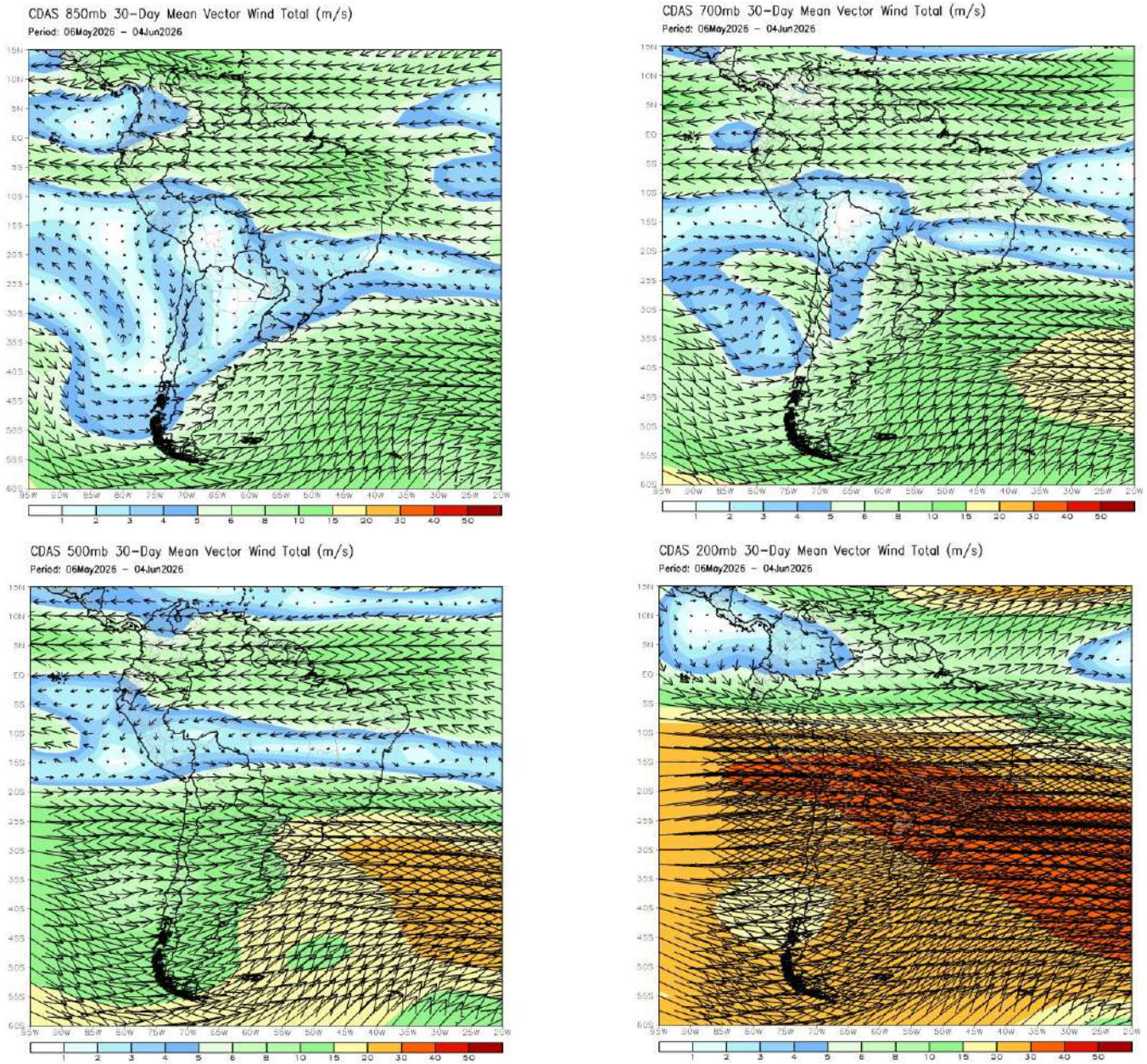
COMPORTAMIENTO MENSUAL DEL VIENTO

El análisis del viento vectorial total promedio de 30 días permite identificar la estructura dominante de la circulación atmosférica durante el periodo analizado, así como los mecanismos dinámicos que favorecieron, o limitaron, el desarrollo de sistemas convectivos en el territorio colombiano. **(Figura 9).**

Nivel Bajo (850 hPa): El flujo estuvo firmemente dominado por vientos del sureste, este y sur, registrándose velocidades significativas sobre las regiones Caribe, Amazonía y el oriente de la Orinoquía. El aspecto dinámico más relevante de este nivel fue la desaceleración progresiva del flujo a medida que transitaba desde el oriente hacia el interior y el occidente del país; este freno horizontal del viento forzó la convergencia en niveles bajos en algunas zonas del territorio nacional.

Nivel Medio-Bajo (700 hPa): El flujo en esta capa continuó integrado por vientos de componente este y sureste con velocidades significativas, actuando de manera generalizada como un mecanismo que barrió la humedad en amplios sectores del territorio colombiano, lo que limitó la persistencia de las precipitaciones. Sin embargo, de forma muy localizada, la orografía nacional apoyó la formación de sistemas convectivos mediante la generación de vientos confluentes inducidos por la fricción y el relieve andino.

Figura 9. Viento vectorial total (m/s) promedio de 30 días para diferentes niveles



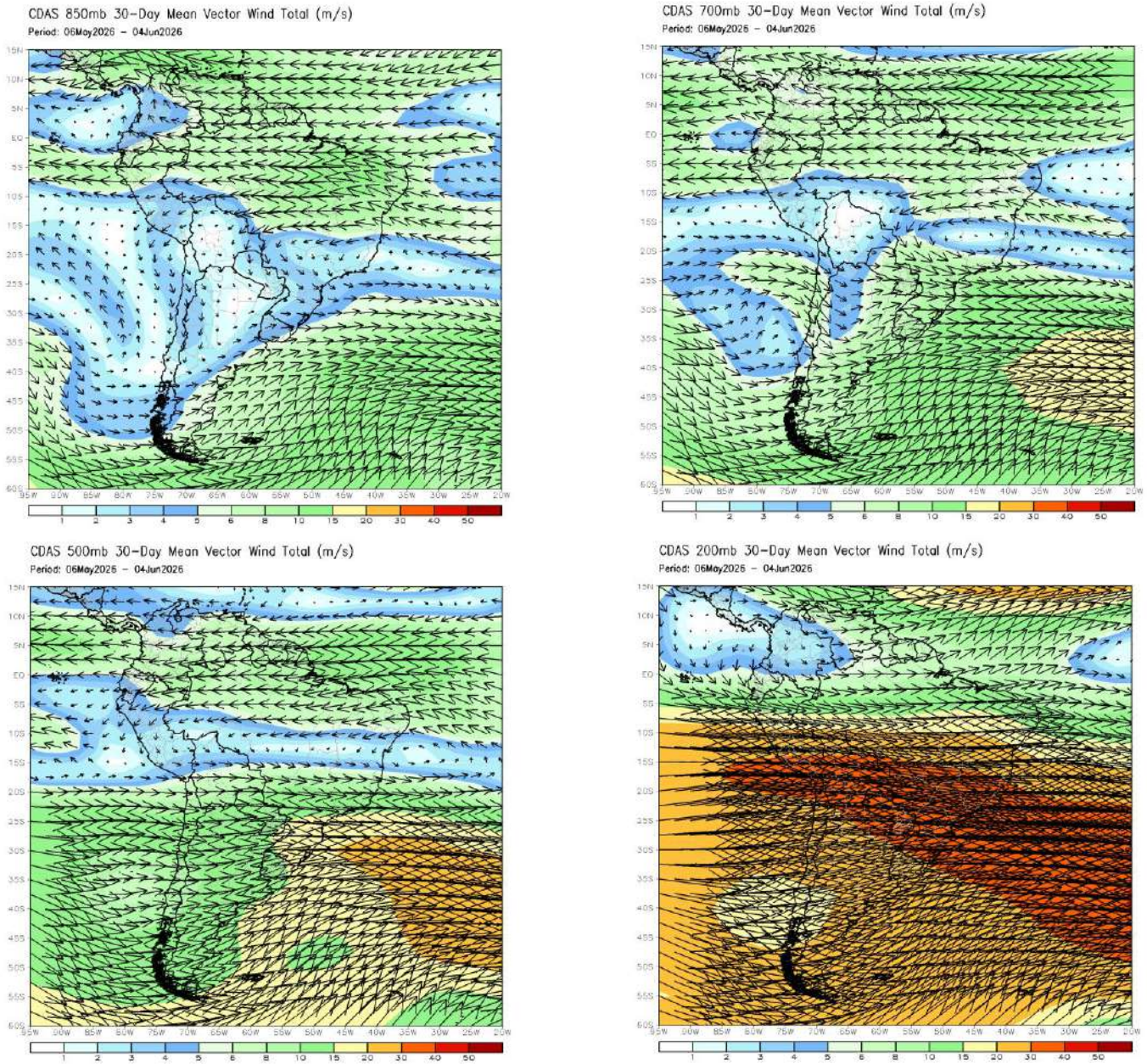
Fuente: Climate Prediction Center, NOAA (2026). CDAS- 30 Day Mean Vector Wind Total (m/s). Disponible en: https://www.cpc.ncep.noaa.gov/products/international/cdas/cdas_30day_sam_850wind_obs.gif

COMPORTAMIENTO MENSUAL DEL VIENTO

Nivel Medio (500 hPa): Prevaleció un flujo zonal del este en casi la totalidad de Colombia, con velocidades moderadas, mientras que las menores velocidades se registraron sobre la franja norte (litoral Caribe). La homogeneidad de este viento del Este en niveles medios indica un transporte continuo de masas de aire desde el Atlántico y la Amazonía hacia la vertiente andina, sirviendo como un soporte de humedad constante para la formación de eventos convectivos locales.

Nivel Alto (200 hPa): En la alta tropósfera, los flujos de viento real predominaron con componentes del norte y noreste en la mayor parte de Colombia. La divergencia en este nivel superior fue impulsada por un incremento progresivo de la velocidad del viento desde el centro hacia el oriente del país, así como desde el centro hacia el sur; esta aceleración superior proporcionó la ventilación y el ascenso dinámico necesarios para sostener los procesos convectivos en las regiones de la Orinoquía y la Amazonía. Por el contrario, las velocidades de viento más bajas, asociadas a procesos de subsidencia, se presentaron sobre gran parte de la región Pacífica y las regiones Caribe y Andina, explicando de manera sinóptica las condiciones persistentes de déficit de lluvias observadas en estas jurisdicciones.

Figura 9. Viento vectorial total (m/s) promedio de 30 días para diferentes niveles



Fuente: Climate Prediction Center, NOAA (2026). CDAS- 30 Day Mean Vector Wind Total (m/s). Disponible en: https://www.cpc.ncep.noaa.gov/products/international/cdas/cdas_30day_sam_850wind_obs.gif

ZONA DE CONVERGENCIA INTERTROPICAL (ZCIT)

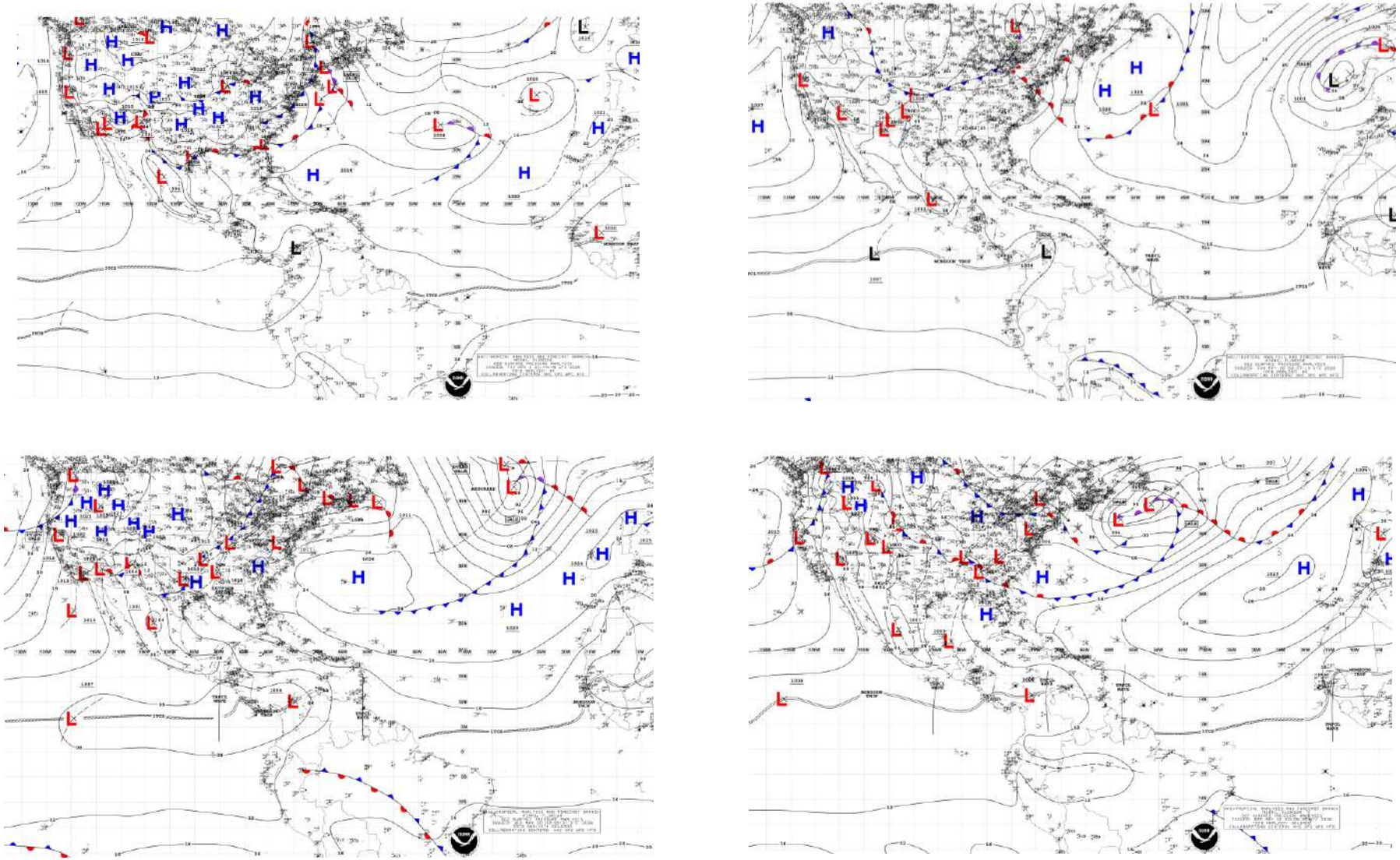
La **Figura 10** presenta las cartas de análisis de superficie del Centro Nacional de Huracanes (NHC) para las 00 UTC de los días 1, 10, 20 y 30 de mayo, detallando los sistemas de escala sinóptica que influyeron en el comportamiento meteorológico de Colombia.

La **Vaguada Monzónica** osciló latitudinalmente entre la zona norte del Pacífico oriental colombiano hacia el suroccidente del mar Caribe, así como en el norte de la región Andina y la plataforma continental del Caribe, favoreciendo algunos episodios de convergencia intermitente. Mientras que en el sector del Atlántico la **ZCIT** osciló latitudinalmente entre 0° y 5°N. Paralelamente, la **Baja Anclada de Panamá** se mantuvo activa en algunos casos y brindó un soporte dinámico crucial para las precipitaciones sobre zonas del Pacífico nacional, especialmente en el área marítima.

El gradiente de presión configurado entre los sistemas de **Alta** presión en el Atlántico (incluida la Alta de los Azores) y la Baja del Darién impulsó la formación de **jets de bajo nivel** en el mar Caribe y áreas costeras, realizando un barrido de humedad. El tránsito de muy pocos **sistemas frontales** hacia las Antillas Mayores generó débiles líneas de inestabilidad que no apoyaron la convección en el norte del país debido a la persistencia de una masa de aire seco y estable sobre la cuenca del Caribe colombiano. Por el contrario, en el extremo sur del continente, la incursión de algunos **sistemas frontales** desde la cuenca amazónica brasileña contribuyó en la generación de condiciones de inestabilidad atmosférica en la región de la Amazonía colombiana.

Adicionalmente, se registró una **actividad ondulatoria** significativa con el tránsito exitoso de cuatro ondas tropicales sobre el territorio colombiano, las cuales actuaron como disparadores dinámicos para los pulsos de precipitación.

Figura 10. Cartas de superficie del NHC de las 00 UTC para los días 1, 10, 20 y 30 del mes



Fuente: National Hurricane Center, NOAA (2026). Análisis de superficie.
Disponible en: https://ftp.nhc.ncep.noaa.gov/tafb/surface_analysis/

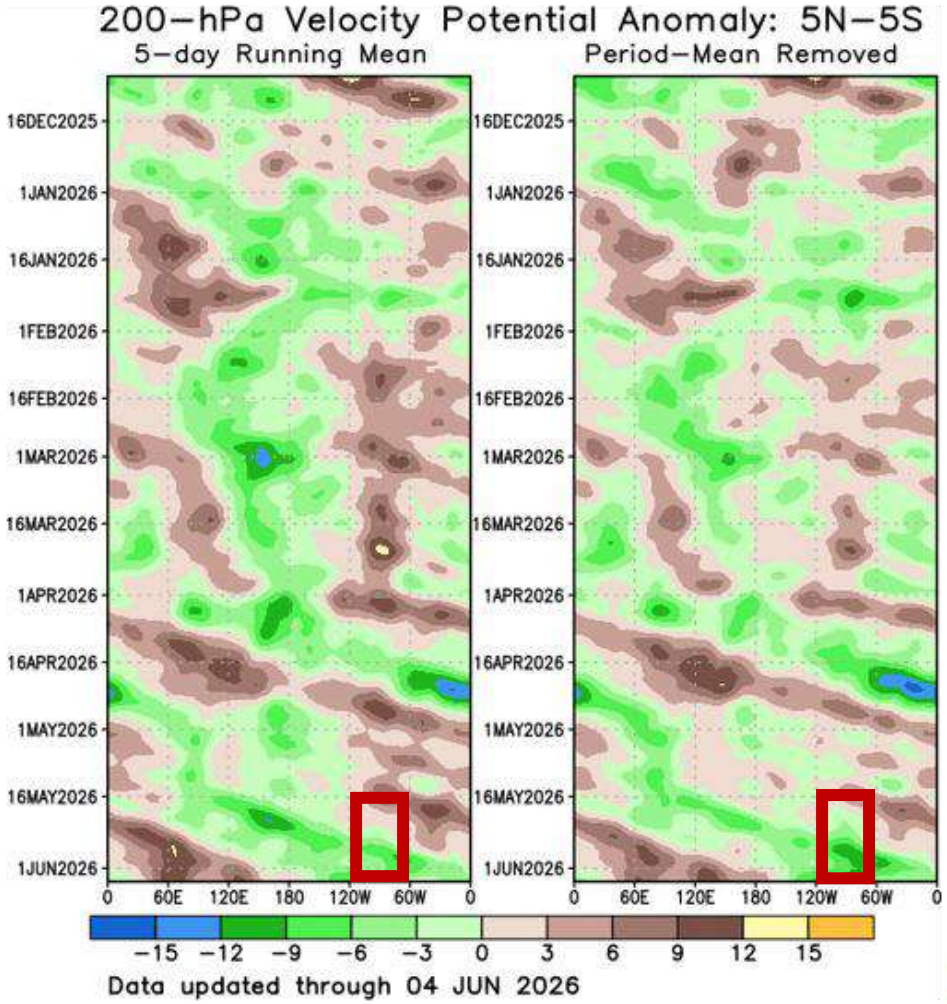
ANOMALÍA DE LA VELOCIDAD POTENCIAL (MJO)

El análisis de la onda intraestacional (MJO) y la dinámica de ondas atmosféricas para el mes de mayo (**Figuras 11 y 12**) resulta fundamental para comprender la distribución de las lluvias y la alternancia de los pulsos húmedos en el territorio nacional.

La Figura 11 muestra el comportamiento de la MJO (onda intraestacional) sobre la longitud de Colombia (recuadro rojo, 120W a 60W) se observó una fase subsidente inicial durante la primera década del mes (tonos marrones) en la media móvil. Esta fase subsidente (seca) a gran escala favoreció un entorno de supresión convectiva. Mientras que, la fase convectiva dominante a partir de mediados de mes y hasta finales de mayo, tanto la media móvil como la media removida (derecha) muestran el dominio absoluto de tonos verdes (anomalías negativas). Esto indica divergencia y difluencia en niveles altos (200 hPa), configurando una fase convectiva (húmeda) muy activa que aportó el soporte dinámico para el desarrollo de nubosidad profunda, coincidiendo con los picos de lluvia más altos de la segunda quincena.

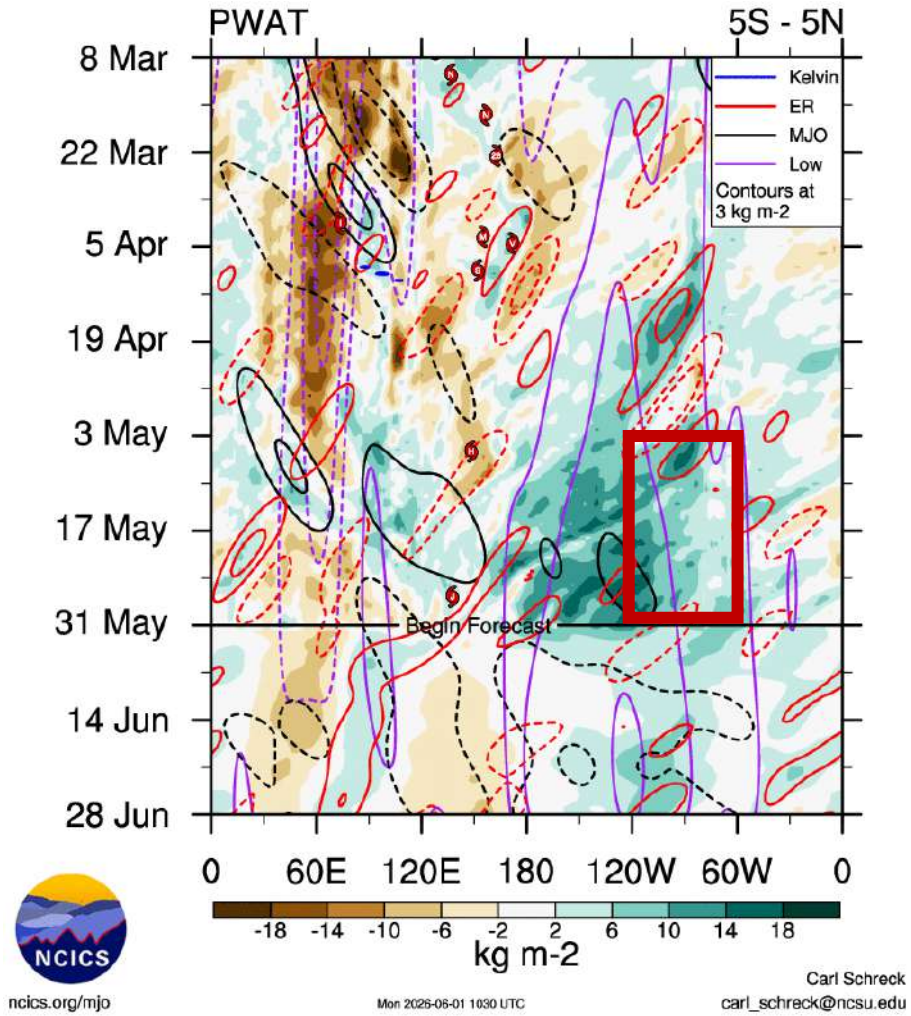
La inestabilidad a gran escala de la MJO interactuó de forma sinérgica con la humedad y las ondas de menor escala en la tropósfera baja (**Figura 12**). El recuadro rojo sobre Colombia revela una intensa anomalía positiva de PWAT (colores verde). Esta fuerte inyección de humedad proporcionó el "combustible" para las lluvias, especialmente a partir de mediados de mes. La abundante PWAT disponible fue constantemente organizado y detonado por la interacción de múltiples ondas como la Ondas de Rossby (ER - contornos rojos) que cruzaron activamente la longitud del país a lo largo del mes. Un pulso de onda Kelvin transitó de forma muy definida a finales de mes, reforzando la convección. Onda de Baja Frecuencia (Low - contorno morado) aportó un soporte de inestabilidad de fondo de largo periodo.

Figura 11. Anomalía del potencial de velocidad a 200 hPa



Fuente: Climate Prediction Center, NOAA (2026). Anomalía del potencial de velocidad a 200 hPa. Disponible en: https://www.cpc.ncep.noaa.gov/products/intraseasonal/vpot_tlon.shtml.

Figura 12. Anomalías de agua total precipitable y actividad de ondas atmosféricas del NCICS.



Fuente: North Carolina Institute for Climate Studies (2026). Archivo de Anomalías de Agua Precipitable y Actividad de Ondas Atmosféricas). Disponible en: https://ncics.org/pub/mjo/archive/.

FRENTES FRIOS

La **Figura 13** presenta el diagrama de barras que detalla la perspectiva y el seguimiento de frentes fríos por parte del Servicio Meteorológico Nacional de México (CONAGUA) para la temporada 2025/2026, con foco en el mes de mayo de 2026 (recuadro rojo).

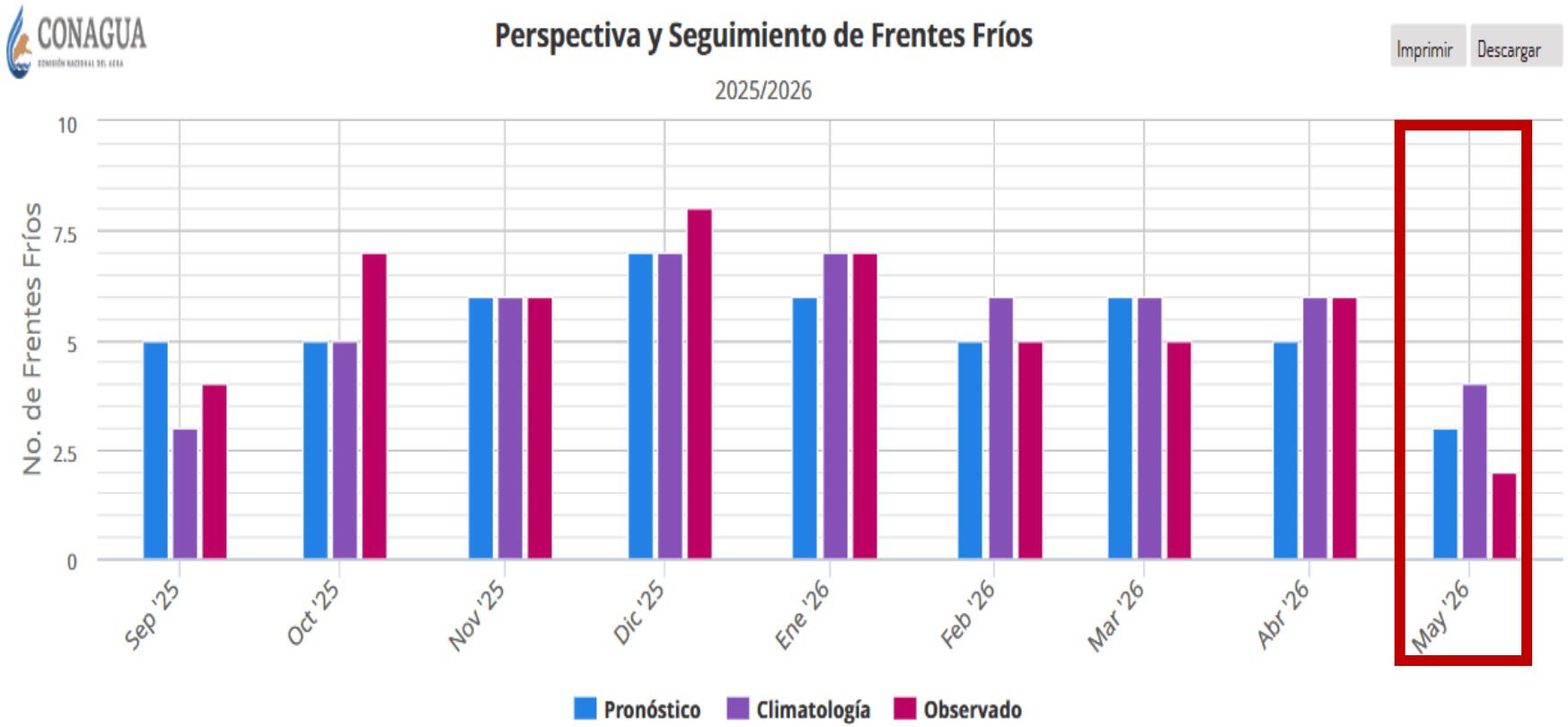
Durante el mes de mayo de 2026, se registró una actividad de frentes fríos significativamente baja (2 frentes) en el hemisferio norte, situándose por debajo de los promedios históricos (4 frentes fríos-morado) y de las proyecciones iniciales (3 sistemas frontales – azul).

La ocurrencia de solo 2 frentes fríos marca la transición definitiva hacia la temporada de verano en latitudes medias, representando una anomalía negativa respecto a la climatología multianual.

La escasa actividad de frentes fríos al norte de la cuenca del Atlántico tuvo una influencia directa en las condiciones secas del norte de Colombia, ya que solo 2 frentes transitando en latitudes medias, se redujo drásticamente la formación de vaguadas prefrontales y líneas de inestabilidad que lograran descender hacia el Mar Caribe.

Al no existir este forzamiento dinámico indirecto desde el norte, y bajo la persistencia de la masa de aire seco sobre el Caribe nacional y el fortalecimiento de los vientos Alisios (jets de bajo nivel), la atmósfera septentrional se mantuvo bajo condiciones de alta estabilidad. Esto explica de forma sinóptica por qué departamentos como San Andrés (-95%), La Guajira (-86%) y Atlántico (-75%) experimentaron déficits de lluvia importantes y prolongados durante el mes.

Figura 13. PERSPECTIVA Y SEGUIMIENTO DE FRENTES FRÍOS 2025/2026



Fuente: Servicio Meteorológico Nacional, CONAGUA (2026). Pronóstico climático de frentes fríos. Disponible en: https://smn.conagua.gob.mx/es/climatologia/pronostico-climatico/frentes-frios.

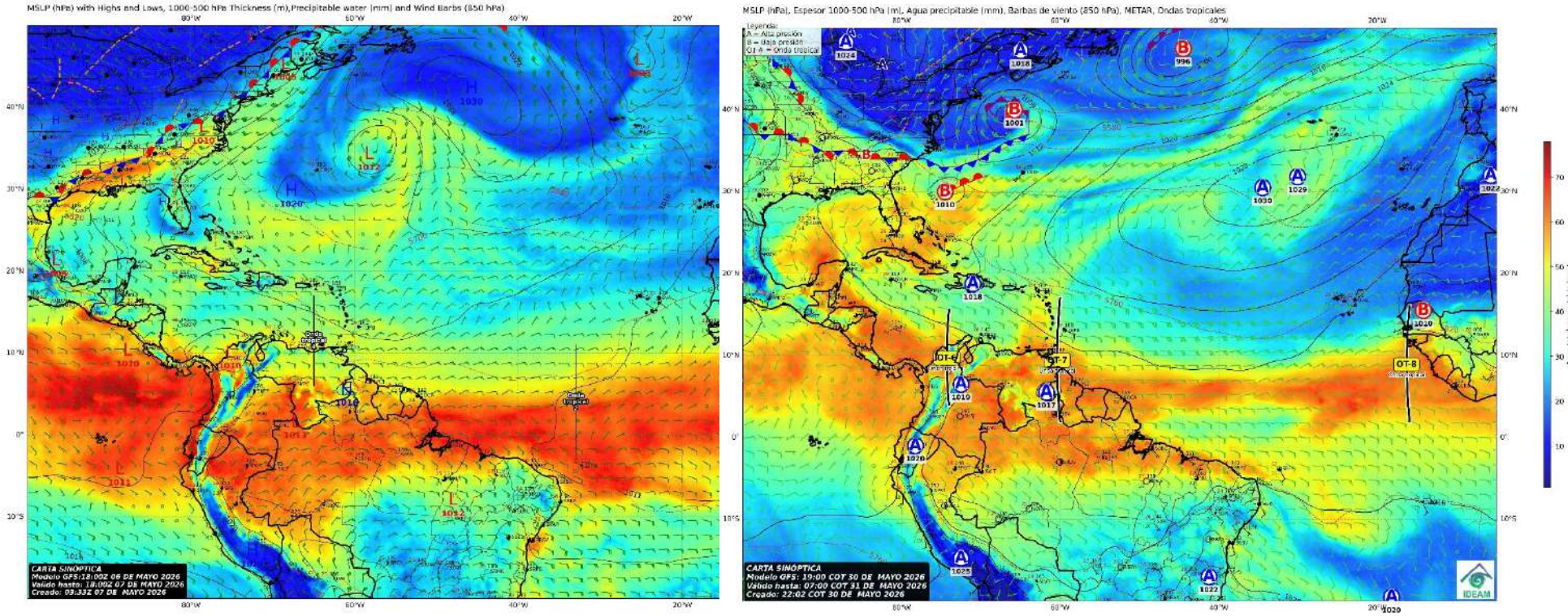
ONDAS TROPICALES Y SISTEMAS CICLÓNICOS

A pesar de que mayo se sitúa fuera de la temporada oficial de ciclones tropicales en la cuenca del Atlántico, se registró el desarrollo de varias perturbaciones tropicales. De acuerdo con las cartas de análisis de superficie del NHC, la actividad ondulatoria se inició de forma temprana con la identificación de la onda tropical No. 1 en las inmediaciones de las costas de África occidental (Atlántico oriental) durante la tarde del 1 de mayo, mientras que la onda tropical No. 8 comenzó su estructuración en esa misma región hacia el cierre del mes.

En su propagación hacia el oeste, la onda tropical No. 1 experimentó un proceso de disipación y pérdida de estructura antes de ingresar al territorio nacional, debido a la advección de una densa masa de aire seco que indujo condiciones de estabilidad atmosférica sobre la región norte de Colombia y la cuenca del Mar Caribe.

No obstante, durante el transcurso del mes, cuatro ondas tropicales (Ondas No. 3, 4, 5 y 6) transitaron con éxito sobre el territorio colombiano. El paso de estos sistemas de baja presión generó inestabilidad en la columna atmosférica y, en interacción con otros sistemas atmosféricos, funcionaron como eficientes mecanismos de disparo para eventos convectivos profundos. Estos sistemas aportaron humedad e influyeron de manera directa en los acumulados de precipitación sobre el norte y centro de las regiones Orinoquía, Andina y Pacífica, además de generar pulsos de lluvia sobre la plataforma continental y marítima del Caribe, incluyendo el área del Archipiélago.

Figura 14. Carta sinóptica OSPA



La figura (izquierda) muestra el comportamiento del inicio del mes con el conteo de las ondas tropicales con respecto a las salidas de las cartas de superficie del NCH, mientras que, la figura de la derecha esta evidenciando el comportamiento al final del mes.

Fuente: Grupo meteorología OSPA – Ideam

VISITA NUESTRAS REDES SOCIALES


InstitutoIDEAM


@IDEAMColombia


IdeamColombia


Ideam.Instituto

RESUMEN
BOLETÍN DE LA SITUACIÓN SINÓPTICA MENSUAL

Ghisliane Echeverry Prieto | Directora General
Jennifer Dorado Delgado | Jefe Oficina del Servicio de Pronósticos y Alertas

Elaboró:
Alexander M. Martínez Mercado

Colaboradores:
Grupo de datos
Profesionales de incendios y deslizamientos

OFICINA DEL SERVICIO DE PRONÓSTICO Y ALERTAS
http://www.ideam.gov.co
Correos electrónicos: servicio@ideam.gov.co, alertas@ideam.gov.co
Calle 25D N° 96B - 70, piso 3. Bogotá, D.C.
Teléfono: 3075625 ext. 1334 -1336.